

### ● 3角形の重心の周辺

重心は古典力学に由来する概念です。

慣性座標系で等速運動する質点系(や剛体)にとって特別な物理学的意味を有する点です。また、一様な重力場中の質点系(や剛体)でも特別な点です。重心と呼ばれる所以ですね。物理学では重心(Center of Gravity)のことを慣性中心(Center of Inertia)とも呼びます。質点系(や剛体)の慣性中心は次のように定義されます。

#### 慣性中心の定義

質点系の*i*番目の質点の位置Vectorを $a_i$ 、その質量を $m_i$ とするとき、この質点系の慣性中心 $C_I$ は次式を満たすものとして定義されます。

$$\sum_i m_i(a_i - C_I) = \emptyset \quad .1)$$

$C_I$ について解けば

$$C_I = \frac{1}{\sum_i m_i} \sum_i m_i a_i \quad .2)$$

剛体 $S$ の場合は、点 $x$ における密度を $\rho(x)$ とすれば、

$$C_I = \frac{1}{\iiint_{x \in S} \rho(x) dx_1 dx_2 dx_3} \iiint_{x \in S} \rho(x) x dx_1 dx_2 dx_3 \quad .3)$$

但し、.1), .2), .3)において用いられる座標系は(任意の)正規直交座標系です。

.3)の右辺の分母の積分の絶対値は  $S$  の質量を表わしています。

慣性中心のもう力学的性質に関する議論は当節の専外です。唯貴方も御存じのとおり、天秤、竿秤、挺子などは、慣性中心の性質を利用しているということを指摘するに留めることにします。

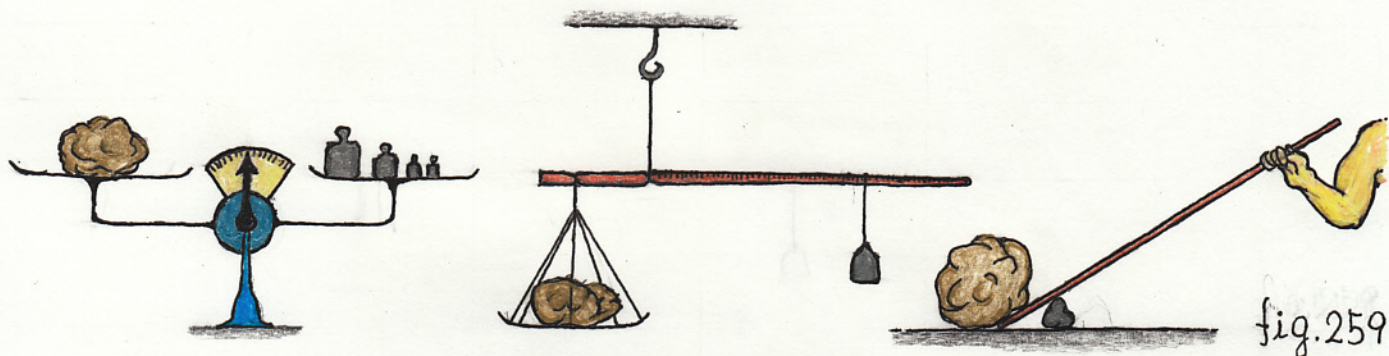


fig.259

当節の主題の1つは、幾何学的重心、とりわけ3角形の重心です。

(195.3)において、 $\rho(x) = \text{constant} = 1$  とし、さらに3次元に限らず、1, 2, 4次元, …, 一般に  $n$  次元に拡張すれば、幾何学的重心の定義が得られます。但し、怠け者の定義とします。何故怠け者の定義なのか？ それは  $n$  次元体積の定義(167)を行った際と同じ事情があるからです。

### 怠け者の幾何学的重心の定義

$n$  次元 Euclidean 空間  $R^n$  上の有界凸閉集合  $S$  の幾何学的重心  $C_G$  を次式で定義します。

$$C_G = \frac{1}{\iiint_{x \in S} 1 dx_1 dx_2 \dots dx_n} \iiint_{x \in S} x dx_1 dx_2 \dots dx_n \quad .1)$$

但し、.1)において用いられる座標系は(任意の)正規直交座標系です。

(196.1)式の右辺の分母の絶対値は  $S$  の  $n$  次元体積です。従って、重心の定義は次元数に依存し、その  $n$  次元体積が  $\emptyset$  でない有界凸集合に対してのみ行なうことが出来、正確を期すならば“ $n$  次元重心”とも呼ぶべきものです。例えば、縮退した 3 角形の 2 次元重心は無意味ですが、それを線分と見做すならば、その 1 次元重心の定義は出来ます。

$A_0$  を始頂点とし、 $\{v_1, v_2\}$  を単体要素集合とする、縮退していない 2 次元単体  $\varnothing_2(A_0; v_1, v_2)$ 、つまり 3 角形  $A_0 A_1 A_2$  の 2 次元重心  $C_G$  について考察しましょう。但し、3 角形  $A_0 A_1 A_2$  は鋭角 3 角形 (Acute Angled Triangle) であるとします。つまり頂点  $A_0, A_1, A_2$  における内角は全て  $\frac{\pi}{2}$  未満だとします。鈍角 3 角形 (Obtuse Angled Triangle) については、鋭角 3 角形の場合とほとんど同じ議論が可能なので省略します。

重心  $C_G$  を  $A_0, v_1, v_2$  で表現する式を求めるのが目標です。

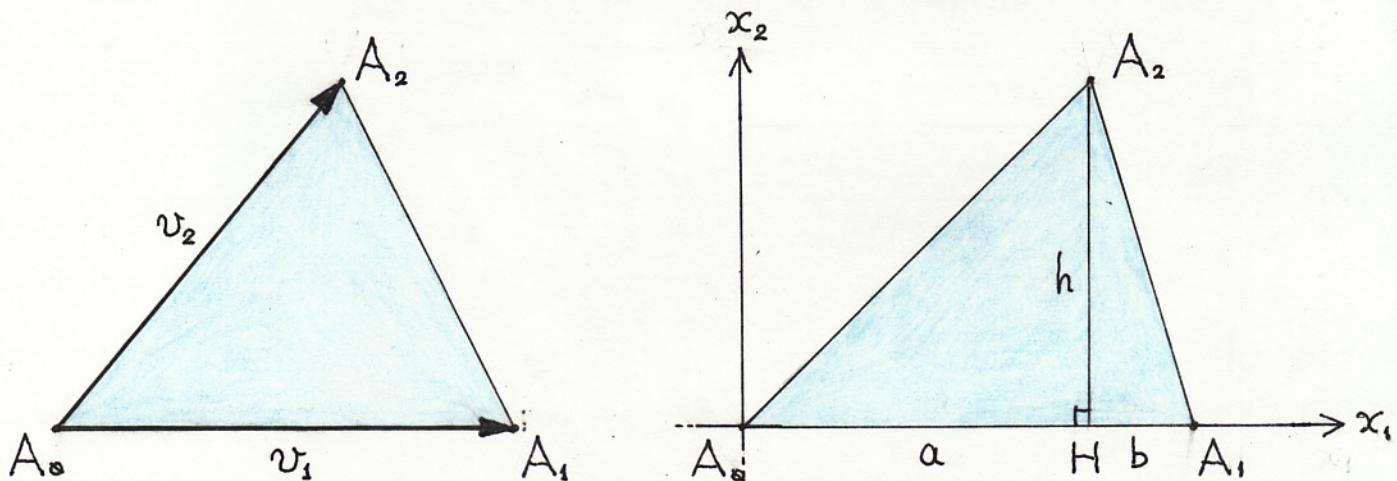
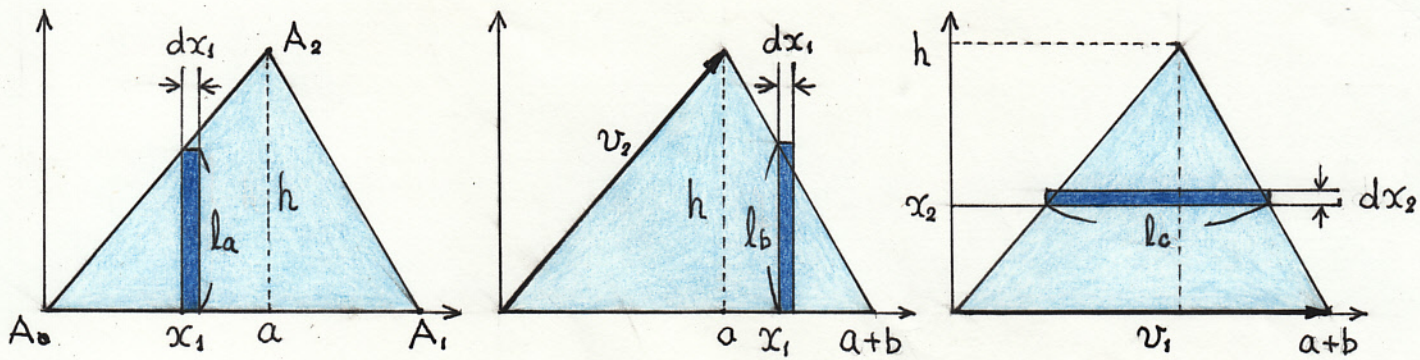


fig. 26Q

頂点  $A_2$  から辺  $A_0 A_1$  に降ろした垂線の足を  $H$  とします。 $h, a, b$  を、 $h = \overline{A_2H}$ ,  $a = \overline{A_0H}$ ,  $b = \overline{HA_1}$  とします。また、正規直交座標系は、 $A_0$  を原点とし、 $v_1$  方向を  $x_1$  軸方向とし、 $\overrightarrow{HA_2}$  方向が  $x_2$  軸方向となるように定めます。この座標系を用いて  $C_G$  を計算します。

【P573】3角形の重心の周辺（続き）



$$l_a = \frac{h}{a}x_1$$

$$l_b = \frac{h}{b}(a+b-x_1)$$

$$l_c = \frac{a+b}{h}(h-x_2)$$

fig. 261

$\Delta_2$  の面積を  $sV_2$  とおきます。 $C_G$  の定義式(196.1) 及び fig. 261 の  $l_a, l_b, l_c$  を用いて、 $C_G|_{\Delta_1}, C_G|_{\Delta_2}$  を求めます。丁寧に計算しましょう。

$$sV_2 C_G|_{\Delta_1} = \iint_{x \in \Delta_2} x_1 dx_1 dx_2 = \int_a^a x_1 l_a dx_1 + \int_a^{a+b} x_1 l_b dx_1$$

$$= \int_a^a x_1 \frac{h}{a} x_1 dx_1 + \int_a^{a+b} x_1 \frac{h}{b} (a+b-x_1) dx_1$$

$$\begin{aligned} \frac{b}{h} sV_2 C_G|_{\Delta_1} &= \frac{b}{a} \int_a^a x_1^2 dx_1 + (a+b) \int_a^{a+b} x_1 dx_1 - \int_a^{a+b} x_1^2 dx_1 \\ &= \frac{b}{a} \left[ \frac{1}{3} x_1^3 \right]_a^a + (a+b) \left[ \frac{1}{2} x_1^2 \right]_a^{a+b} - \left[ \frac{1}{3} x_1^3 \right]_a^{a+b} \end{aligned}$$

$$\begin{aligned} \frac{6b}{h} sV_2 C_G|_{\Delta_1} &= 2a^2 b + 3(a+b)^3 - 3a^2(a+b) - 2(a+b)^3 + 2a^3 \\ &= 2a^2(a+b) + (a+b)^3 - 3a^2(a+b) \\ &= (a+b)^3 - a^2(a+b) \\ &= (a+b)((a+b)^2 - a^2) \\ &= (a+b)(a+b-a)(a+b+a) \end{aligned}$$

$$\frac{6b}{h} sV_2 C_G|_{\Delta_1} = b(a+b)(2a+b) \quad (W1)$$

【P574】1月2日(日) 3角形の重心の周辺(続き)

ところで  $\Delta_2$  の面積  $sV_2$  は

$$sV_2 = \frac{1}{2}(a+b)h \quad (W2)$$

(W1), (W2) より

$$\frac{6b(a+b)h}{h} C_G|_1 = b(a+b)(2a+b)$$

$$C_G|_1 = \frac{1}{3}(2a+b) \quad (W3)$$

次に  $C_G|_2$  を計算します。

$$\begin{aligned} sV_2 C_G|_2 &= \iint_{x \in \Delta_2} x_2 dx_1 dx_2 = \int_a^h x_2 l_c dx_2 = \int_a^h x_2 \frac{a+b}{h} (h-x_2) dx_2 \\ &= (a+b) \int_a^h x_2 dx_2 - \frac{a+b}{h} \int_a^h x_2^2 dx_2 \\ &= (a+b) \left[ \frac{1}{2} x_2^2 \right]_a^h - (a+b) \frac{1}{h} \left[ \frac{1}{3} x_2^3 \right]_a^h \\ &= \frac{1}{2}(a+b)h^2 - \frac{1}{3}(a+b)h^2 \end{aligned}$$

$$sV_2 C_G|_2 = \frac{1}{6}(a+b)h^2 \quad (W4)$$

(W2), (W4) より

$$\frac{1}{2}(a+b)h C_G|_2 = \frac{1}{6}(a+b)h^2$$

$$C_G|_2 = \frac{1}{3}h \quad (W5)$$

$C_G|_1, C_G|_2$  を  $a, b, h$  で表現する式 (W3), (W5) が得られました。目標は、 $U_1, U_2$  で表現することでしたね。 $U_1, U_2$  は、 $a, b, h$  で表わすと

【P575】 1月3日(月) 3角形の重心の周辺(続き)

$$v_1 = \begin{pmatrix} a+b \\ Q \end{pmatrix}, \quad v_2 = \begin{pmatrix} a \\ h \end{pmatrix} \quad (W6)$$

(W3), (W5), (W6)より

$$C_G = \frac{1}{3} \begin{pmatrix} 2a+b \\ h \end{pmatrix} = \frac{1}{3} \left( \begin{pmatrix} a+b \\ Q \end{pmatrix} + \begin{pmatrix} a \\ h \end{pmatrix} \right)$$

$$C_G = \frac{1}{3} (v_1 + v_2) \quad (W7)$$

任意の正規直交座標系で表わせば

$$C_G = A_{\bullet} + \frac{1}{3} (v_1 + v_2) \quad (W8)$$

$v_1, v_2$  の代わりに  $A_1, A_2$  で表わすと

$$C_G = A_{\bullet} + \frac{1}{3} (A_1 - A_{\bullet}) + \frac{1}{3} (A_2 - A_{\bullet})$$

$$C_G = \frac{1}{3} (A_{\bullet} + A_1 + A_2) \quad (W9)$$

$v_1, v_2$  に対して (W7) で表わされる点  $C_G$  をいくつか描いてみましょう。  
 $C_G$  の幾何学的特性を見い出せるかもしれません。

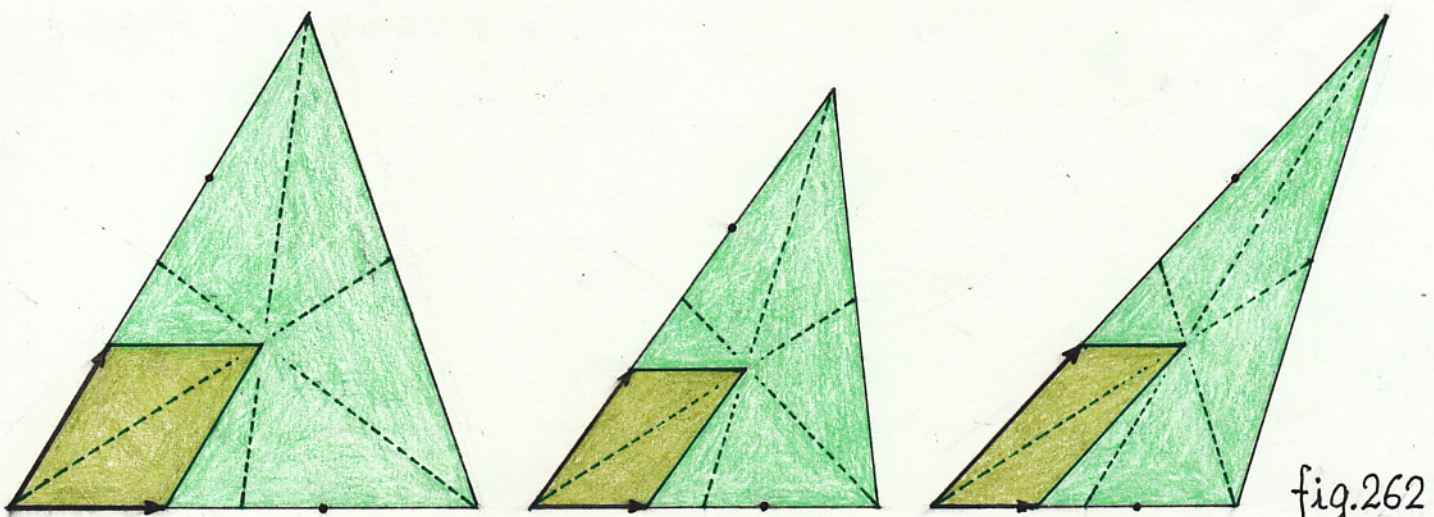
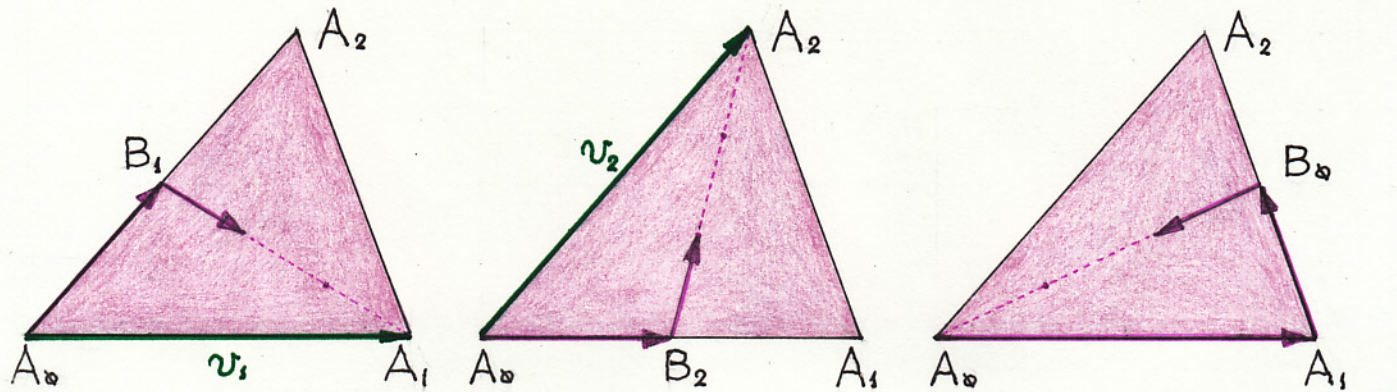


fig.262

【P576】3角形の重心の周辺(続き)

貴方はもう気付きましたね。というより、知っているはずだと云うべきでしょうか？ 下図の3個のVector  $U_{G1}, U_{G2}, U_{G3}$  を用いて確認しましょう。



$$U_{G1} = \overrightarrow{A_0B_1} + \frac{1}{3} \overrightarrow{B_1A_1}, \quad U_{G2} = \overrightarrow{A_0B_2} + \frac{1}{3} \overrightarrow{B_2A_2}, \quad U_{G3} = \overrightarrow{A_0A_1} + \overrightarrow{A_1B_3} + \frac{1}{3} \overrightarrow{B_3A_0}$$

fig.263

上図で、点  $B_1, B_2, B_3$  はそれぞれ、辺  $A_2A_0, A_0A_1, A_1A_2$  の中点です。

$U_{G1}, U_{G2}, U_{G3}$  をそれぞれ、 $U_1, U_2$  で表現しよう。予想通りでしょうか？

$$\begin{aligned} U_{G1} &= \overrightarrow{A_0B_1} + \frac{1}{3} \overrightarrow{B_1A_1} = \overrightarrow{A_0B_1} + \frac{1}{3} (\overrightarrow{A_0A_1} - \overrightarrow{A_0B_1}) \\ &= \frac{1}{3} \overrightarrow{A_0A_1} + (1 - \frac{1}{3}) \overrightarrow{A_0B_1} \\ &= \frac{1}{3} \overrightarrow{A_0A_1} + \frac{2}{3} \cdot \frac{1}{2} \overrightarrow{A_0A_2} \end{aligned}$$

$$U_{G1} = \frac{1}{3} (U_1 + U_2) \tag{W1Q}$$

$$\begin{aligned} U_{G2} &= \overrightarrow{A_0B_2} + \frac{1}{3} \overrightarrow{B_2A_2} = \overrightarrow{A_0B_2} + \frac{1}{3} (\overrightarrow{A_0A_2} - \overrightarrow{A_0B_2}) \\ &= (1 - \frac{1}{3}) \overrightarrow{A_0B_2} + \frac{1}{3} \overrightarrow{A_0A_2} \\ &= \frac{2}{3} \cdot \frac{1}{2} \overrightarrow{A_0A_1} + \frac{1}{3} \overrightarrow{A_0A_2} \end{aligned}$$

$$U_{G2} = \frac{1}{3} (U_1 + U_2) \tag{W1I}$$

【P577】1月4日(火) 3角形の重心の周辺(続き)

$$\begin{aligned}
 U_{GQ} &= \overrightarrow{A_0 A_1} + \overrightarrow{A_1 B_0} + \frac{1}{3} \overrightarrow{B_0 A_0} \\
 &= \overrightarrow{A_0 A_1} + \overrightarrow{A_1 B_0} - \frac{1}{3} (B_0 - A_0) \\
 &= \overrightarrow{A_0 A_1} + \overrightarrow{A_1 B_0} - \frac{1}{3} ((B_0 - A_1) + (A_1 - A_0)) \\
 &= \overrightarrow{A_0 A_1} + \overrightarrow{A_1 B_0} - \frac{1}{3} \overrightarrow{A_1 B_0} - \frac{1}{3} \overrightarrow{A_0 A_1} \\
 &= (1 - \frac{1}{3}) \overrightarrow{A_0 A_1} + (1 - \frac{1}{3}) \overrightarrow{A_1 B_0} \\
 &= \frac{2}{3} U_1 + \frac{2}{3} \cdot \frac{1}{2} (U_2 - U_1) \\
 U_{GQ} &= \frac{1}{3} (U_1 + U_2) \tag{W12}
 \end{aligned}$$

(W10), (W11), (W12)より, fig. 263 の  $U_{G1}, U_{G2}, U_{GQ}$  は、予想通り

$$U_{G1} = U_{G2} = U_{GQ} = \frac{1}{3} (U_1 + U_2) \tag{W13}$$

(W8), (W9), (W13)を定理として再記しておく。

3角形の重心

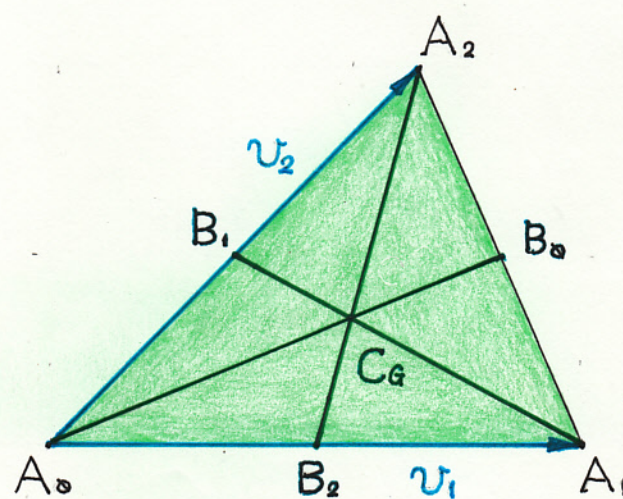


fig. 264

縮退していない2次元単体  $\Delta_2(A_0; U_1, U_2)$  (3角形  $A_0 A_1 A_2$ ) の

【P578】3角形の重心の周辺（続き）

重心を  $C_G$  とします。辺  $A_0A_1$ , 辺  $A_1A_2$ , 辺  $A_2A_0$  の中点をそれぞれ  $B_2$ ,  $B_0$ ,  $B_1$  とします。このとき次が成り立ちます。

線分  $A_0B_0$ , 線分  $A_1B_1$ , 線分  $A_2B_2$  は 1 点で交わり、  
その交点は 重心  $C_G$  に一致します。 .1)

$$\overline{A_0C_G} : \overline{C_GB_0} = \overline{A_1C_G} : \overline{C_GB_1} = \overline{A_2C_G} : \overline{C_GB_2} = 2 : 1 \quad .2)$$

$$C_G = A_0 + \frac{1}{3}(v_1 + v_2) \quad .3)$$

$$C_G = \frac{1}{3}(A_0 + A_1 + A_2) \quad .4)$$

定理(197)

線分  $A_0B_0$ ,  $A_1B_1$ ,  $A_2B_2$  が同一地点で交わることを直観的に理解するためだけならば 下図で十分でしょう。説明はしません。

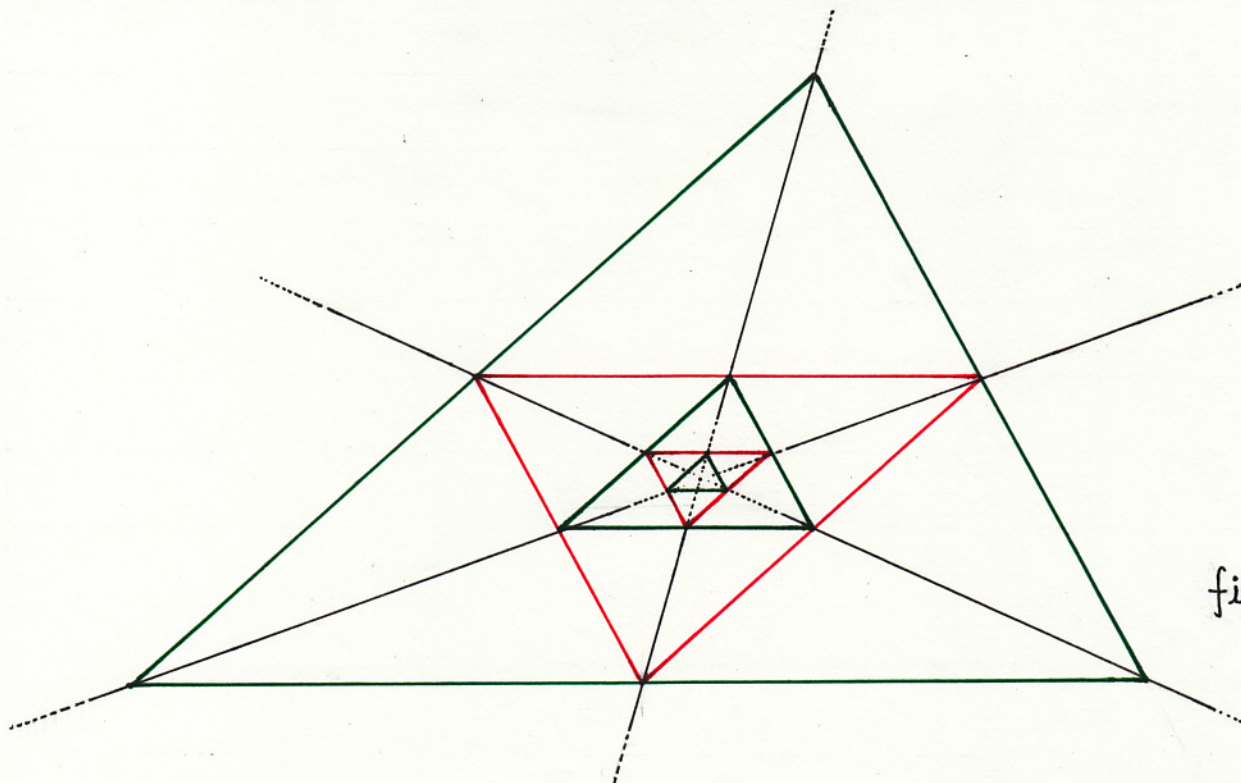


fig. 265

3角形  $A_0 A_1 A_2$  の垂心  $C_P$  について考察しましょう。 $C_P$  の添字 "P" は Perpendicular の "P" のつもりです。Vertical の "V" にしようかとも迷いましたが "P" を選びました。

重心  $C_G$  を議論した際、fig. 266 の右図の正規直交座標系を(一時的にではありますが)用いましたね。今回もそうします。この座標系を3角形  $A_0 A_1 A_2$  の標準座標系と呼ぶことにします。後の議論でも用いられるかもしれません。定義しておきます。

### 3角形の標準座標系の定義

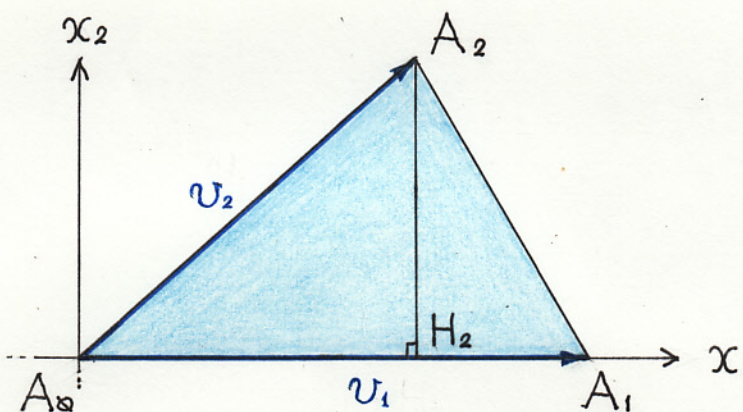


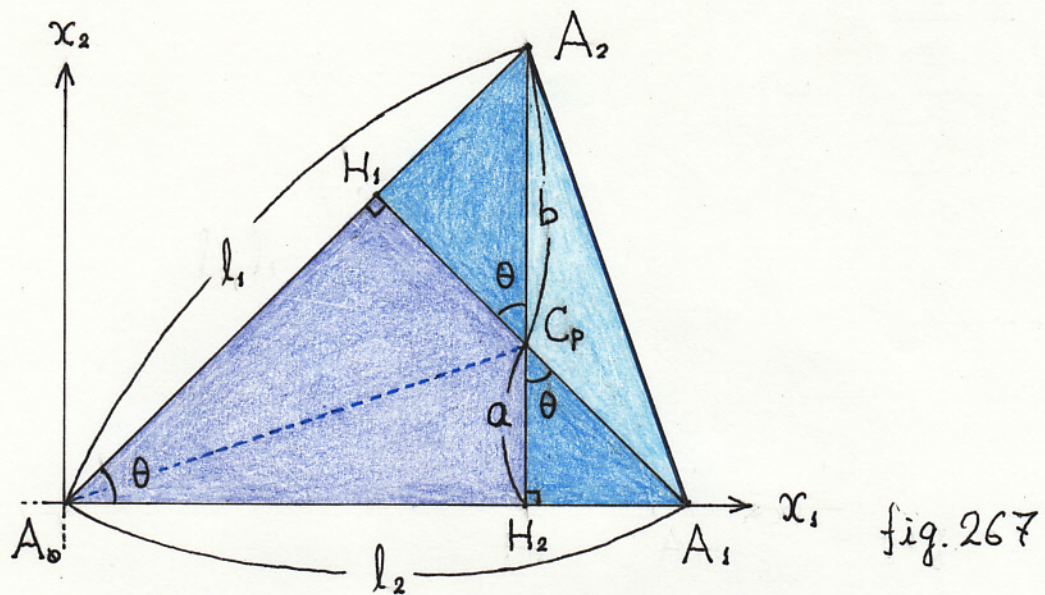
fig. 266

上図の2次元単体  $\delta_2(A_0; U_1, U_2)$  (3角形  $A_0 A_1 A_2$ )において、頂点  $A_2$  から辺  $A_0 A_1$  (の延長線) 上に降ろした垂線の足を  $H_2$  とします。始頂点  $A_0$  を原点とし、Vector  $U_1$  方向を  $x_1$  方向とし、Vector  $\vec{H_2 A_2}$  方向を  $x_2$  方向とする、正規直交座標系を、3角形  $A_0 A_1 A_2$  の標準座標系と呼びます。

定義(198)

上記の定義は縮退していない3角形を前提にしていることに注意しよう。標準座標系は一般のn次元単体においても拡張定義できます。そしてそれは既に、『n次元平行体、単体の体積』で用いられましたね。

【P58】 3角形の重心の周辺（続き）



3角形  $A_0A_1A_2$  は 縮退していない鋭角3角形であるとします。鈍角3角形の場合もほとんど同じ議論になるはずですから省略します。

頂点  $A_1$  から辺  $A_2A_0$  に降ろした垂線の足を  $H_1$  とし、頂点  $A_2$  から辺  $A_0A_1$  に降ろした垂線の足を  $H_2$  とします。線分  $A_1H_1$  と線分  $A_2H_2$  の交点を  $C_p$  とします。辺  $A_2A_0$ 、辺  $A_0A_1$  の長さをそれぞれ  $l_1, l_2$  とします。線分  $H_2C_p$ 、線分  $C_pA_2$  の長さをそれぞれ  $a, b$  とします。3角形  $A_0A_1A_2$  の始頂点  $A_0$  における内角を  $\theta$  とします。  $a$  を  $l_1, l_2, \theta$  で表わす式を求めよう。次が云えます。

4つの直角3角形、 $\triangle A_1H_1A_0, \triangle A_2H_2A_0, \triangle A_1H_1C_p, \triangle A_2H_2C_p$  は、全て互いに相似です。 (W14)

$\triangle A_1H_1C_p, \triangle A_2H_2C_p$  は、全て互いに相似です。

これは自明ですね。各頂点は上記の順で(相似)対応します。従って、

$$\angle A_2A_0H_2 = \angle A_1C_pH_2 = \angle A_2C_pH_1 = \theta \quad (\text{W15})$$

直角3角形  $A_2H_2A_0$  に注目すれば、

$$l_1 \sin \theta = \overline{H_2A_2} = \overline{H_2C_p} + \overline{C_pA_2} = a + b \quad (\text{W16})$$

直角3角形  $A_1H_1A_0$  と小さい2つの直角3角形  $A_1H_1C_p, A_2H_2C_p$  に注目して、

【P581】 3角形の重心の周辺(続き)

$$l_2 \sin \theta = \overline{H_1 A_1} = \overline{H_1 C_p} + \overline{C_p A_1} = b \cos \theta + a \frac{1}{\cos \theta} \quad (W17)$$

(W16)のbを(W17)に代入し、aについて整理します。

$$l_2 \sin \theta = (l_1 \sin \theta - a) \cos \theta + a \frac{1}{\cos \theta}$$

$$= a \left( \frac{1}{\cos \theta} - \cos \theta \right) + l_1 \sin \theta \cos \theta$$

$$\frac{1 - \cos^2 \theta}{\cos \theta} a = l_2 \sin \theta - l_1 \sin \theta \cos \theta$$

$$a = \frac{\cos \theta}{\sin^2 \theta} (l_2 \sin \theta - l_1 \sin \theta \cos \theta)$$

$$a = l_2 \frac{\cos \theta}{\sin \theta} - l_1 \frac{\cos^2 \theta}{\sin \theta} \quad (W18)$$

3頂点  $A_0, A_1, A_2$  及び点  $C_p$  の座標値を標準座標系で表現すると、

$$A_0 = \begin{pmatrix} Q \\ Q \end{pmatrix}, \quad A_1 = \begin{pmatrix} l_2 \\ Q \end{pmatrix}, \quad A_2 = \begin{pmatrix} l_1 \cos \theta \\ l_1 \sin \theta \end{pmatrix} \quad (W19)$$

$$C_p = \begin{pmatrix} l_1 \cos \theta \\ l_2 \frac{\cos \theta}{\sin \theta} - l_1 \frac{\cos^2 \theta}{\sin \theta} \end{pmatrix} \quad (W20)$$

2つのVector  $\overrightarrow{A_1 A_2}, \overrightarrow{A_0 C_p}$  の内積を計算すれば、

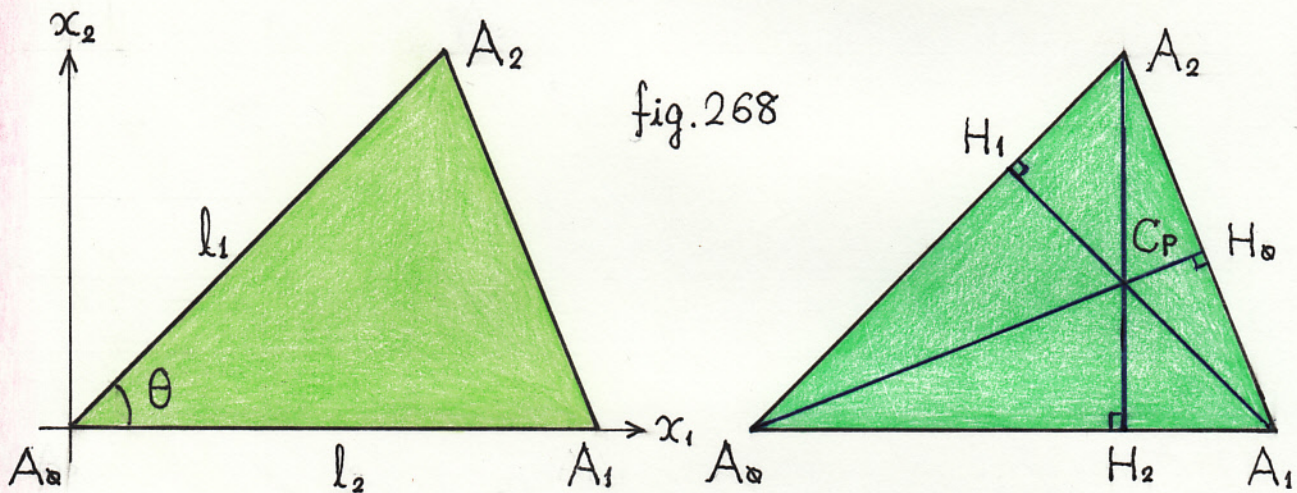
$$\overrightarrow{A_1 A_2} \cdot \overrightarrow{A_0 C_p} = \left( l_1 \cos \theta - l_2, l_1 \sin \theta \right) \begin{pmatrix} l_1 \cos \theta \\ l_2 \frac{\cos \theta}{\sin \theta} - l_1 \frac{\cos^2 \theta}{\sin \theta} \end{pmatrix}$$

【P582】3角形の重心の周辺（続き）

$$\begin{aligned}\overrightarrow{A_1A_2} \cdot \overrightarrow{A_0C_p} &= (l_1 \cos\theta - l_2)(l_1 \cos\theta) + (l_1 \sin\theta)(l_2 \frac{\cos\theta}{\sin\theta} - l_1 \frac{\cos^2\theta}{\sin\theta}) \\ &= l_1^2 \cos^2\theta - l_1 l_2 \cos\theta + l_1 l_2 \cos\theta - l_1^2 \cos^2\theta \\ \overrightarrow{A_1A_2} \cdot \overrightarrow{A_0C_p} &= 0 \quad (\text{W21})\end{aligned}$$

(W21)が求めたかった式です。この幾何学的意味は、直線  $A_1A_2$  と直線  $A_0C_p$  が直交するということです。定理としてまとめておきましょう。

3角形の垂心



縮退していない3角形  $A_0A_1A_2$ において、頂点  $A_0$  から直線  $A_1A_2$  に降ろした垂線の足を  $H_0$  とします。 $H_1, H_2$  も同様に定めます。fig.268 の右の絵を参照して下さい。このとき、3直線  $A_0H_0, A_1H_1, A_2H_2$  は同一地点  $C_p$  で交わります。 $C_p$  を3角形  $A_0A_1A_2$  の垂心と呼びます。 $l_1, l_2, \theta$  を fig.268 の左の絵のように定めると、標準座標系での  $C_p$  は、

$$C_p = {}^t \left( l_1 \cos\theta, l_2 \frac{\cos\theta}{\sin\theta} - l_1 \frac{\cos^2\theta}{\sin\theta} \right) \quad .1)$$

定理(199)

【P583】 1月10日(月) 3角形の重心の周辺(続き)

垂心  $C_P$  が存在するということ、つまり 3直線  $A_0H_0, A_1H_1, A_2H_2$  が 1 点で交わるということを、直観的に納得させてくれる絵が存在します。

下図です。3角形  $B_0B_1B_2$  の外接円の中心は、3角形  $A_0A_1A_2$  の垂心に一致します。3角形  $A_0A_1A_2$  と3角形  $B_0B_1B_2$  の関係は説明する必要は無いでしょう。

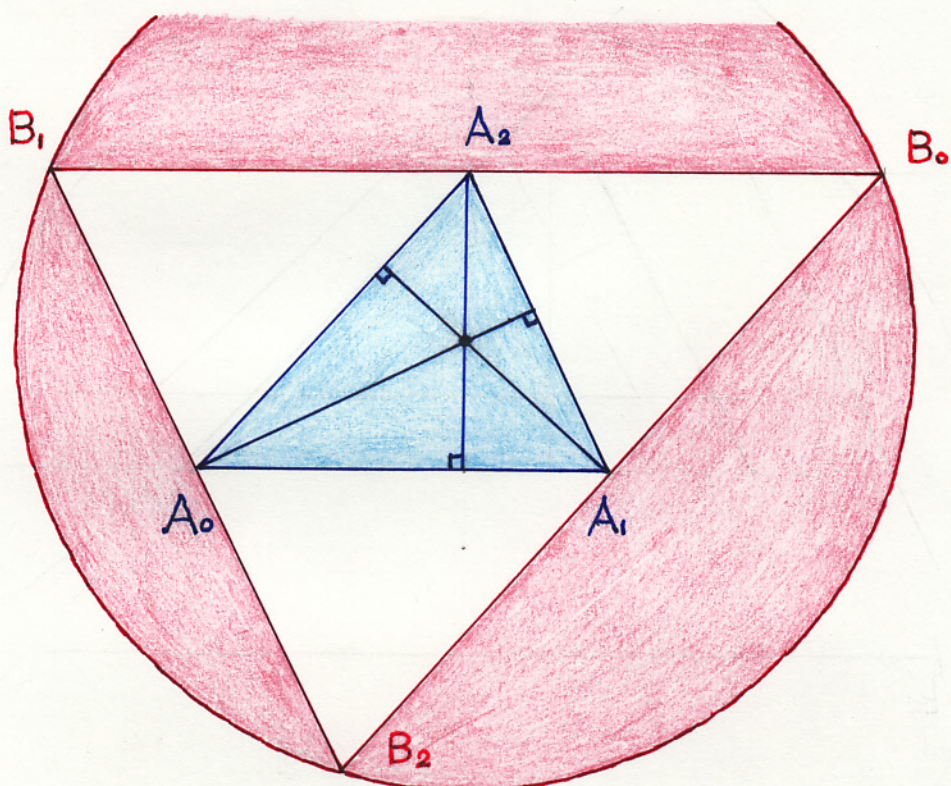


fig. 269

fig.268の左図を御覧下さい。3角形  $A_0A_1A_2$  に関する諸量を、標準座標系において、 $l_1, l_2, \theta$  を用いて表現することを

$l_1, l_2, \theta$  表現

と呼ぶことにします。(199.1) は垂心  $C_P$  の  $l_1, l_2, \theta$  表現です。

3角形  $A_0A_1A_2$  の面積  $sV_2$  や外接円の半径  $R_0$  などのような Scalar 量であっても、 $l_1, l_2, \theta$  で表わされているならば  $l_1, l_2, \theta$  表現と呼びます。

$sV_2$  と  $R_0$  の  $l_1, l_2, \theta$  表現を求めてみましょう。

【P584】1月11日(火) 3角形の重心の周辺(続き)

$s\sqrt{2}$ は自明ですね。Heronの公式と、オ2余弦公式から導くのが筋で  
しあが、学校で教えられた“底辺掛け3高さ割る2”を用いてしまうことします。  
これは既にP574の(W2)で用いてしまっているのです。

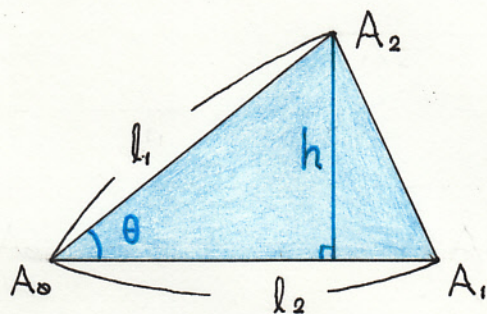


fig. 27Q

$$s\sqrt{2} = \frac{1}{2} l_2 h = \frac{1}{2} l_1 l_2 \sin \theta \quad (\text{W22})$$

$0 \leq \theta \leq \pi$ ですから  $\sin \theta \geq 0$  です。上記の  $s\sqrt{2}$  が非負であることは保証されています。

Heronの公式(190.1)と上記の(W22)を比べると、どちらも一長一短があります。Heronの表現は  $l_0, l_1, l_2$  に関する対称式ですから頂点  $A_0, A_1, A_2$  を平等に扱っていますが、やや複雑です。それに対して(W22)は  $A_0$  を特別扱いしていますが、とても単純です。解析関数  $\sin \theta$  を用いたので簡明になったでしょう。大げさに云えば“解析幾何学”です。 $l_1 l_2 \theta$  表現は全て、解析幾何学的表現と云うことになります。

次に、外接円の半径  $R_0$  の  $l_1 l_2 \theta$  表現を求めます。但し3角形  $A_0 A_1 A_2$  は縮退していないものとします。 $\sin \theta > 0$  です。(194.3), (W22), オ2余弦公式(92.4)より、

$$R_0 = \frac{l_0 l_1 l_2}{4 s\sqrt{2}} = \frac{l_0 l_1 l_2}{4} \cdot \frac{2}{l_1 l_2 \sin \theta} = \frac{l_0}{2 \sin \theta}$$

$$R_0 = \frac{1}{2 \sin \theta} \sqrt{l_1^2 + l_2^2 - 2 l_1 l_2 \cos \theta} \quad (\text{W23})$$

【P585】 3角形の重心の周辺(続き)

ついでに、3角形  $A_0A_1A_2$  の内接円の半径  $R_I$  の  $l_1l_2\theta$  表現も求めてみましょう。(W22), (W23), 第2余弦公式より、

$$R_I = \frac{s\sqrt{2}}{r_0 + r_1 + r_2} = \frac{2}{l_0 + l_1 + l_2} \cdot \frac{1}{2} l_1 l_2 \sin \theta$$

$$R_I = \frac{l_1 l_2 \sin \theta}{l_1 + l_2 + \sqrt{l_1^2 + l_2^2 - 2l_1 l_2 \cos \theta}} \quad (W24)$$

分母に  $\sqrt{\quad}$  が現われないように整理することを出来ますが、今はこのままでおきます。  $R_0, R_I$  とも、 $l_1l_2\theta$  表現とあまり相性がよくないです。 (W22), (W23), (W24) を定理として再記しておくましょう。

$s\sqrt{2}, R_0, R_I$  の  $l_1l_2\theta$  表現

$$s\sqrt{2} = \frac{1}{2} l_1 l_2 \sin \theta \quad .1)$$

$$R_0 = \frac{1}{2 \sin \theta} \sqrt{l_1^2 + l_2^2 - 2l_1 l_2 \cos \theta} \quad .2)$$

$$R_I = \frac{l_1 l_2 \sin \theta}{l_1 + l_2 + \sqrt{l_1^2 + l_2^2 - 2l_1 l_2 \cos \theta}} \quad .3)$$

定理(208)

縮退していない3角形  $A_0A_1A_2$  の重心  $C_G$ , 外接円の中心  $C_0$ , 内接円の中心  $C_I$  の  $l_1l_2\theta$  表現を求めよう。まず  $C_G$  は、

$$C_G = \frac{1}{3}(v_2 + v_1) = \begin{pmatrix} \frac{1}{3}l_1 \cos \theta + \frac{1}{3}l_2 \\ \frac{1}{3}l_1 \sin \theta \end{pmatrix} \quad (W25)$$

【P586】1月12日(水) 3角形の重心の周辺(続き)

$C_{\bar{o}}$  は、

$$C_{\bar{o}} = \begin{pmatrix} \frac{1}{2}l_2 \\ a \end{pmatrix}$$

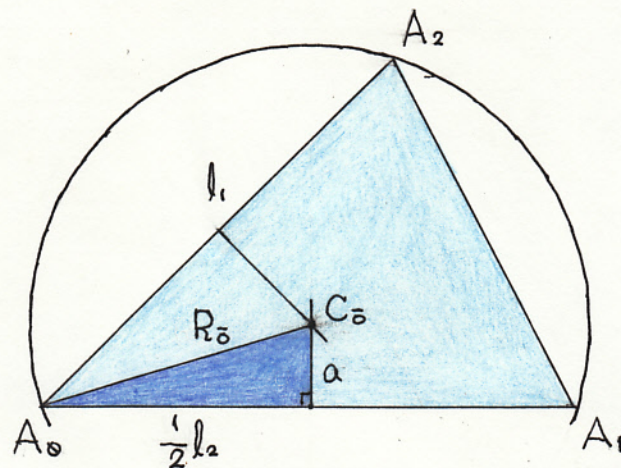


fig.271

$$a^2 = R_{\bar{o}}^2 - \left(\frac{1}{2}l_2\right)^2$$

$$= \frac{1}{4\sin^2\theta} (l_1^2 + l_2^2 - 2l_1l_2\cos\theta) - \frac{1}{4}l_2^2$$

$$= \frac{1}{4\sin^2\theta} (l_1^2 - 2l_1l_2\cos\theta + (1-\sin^2\theta)l_2^2)$$

$$= \frac{1}{4\sin^2\theta} (l_1 - l_2\cos\theta)^2$$

ところで、鋭角3角形の場合  $l_1 - l_2\cos\theta$  は正だから

$$a = \frac{1}{2\sin\theta} (l_1 - l_2\cos\theta)$$

$$C_{\bar{o}} = \begin{bmatrix} \frac{1}{2}l_2 \\ \frac{1}{2\sin\theta} (l_1 - l_2\cos\theta) \end{bmatrix} \quad (\text{W26})$$

$C_I$  は、

$$C_I = \begin{pmatrix} r_a \\ R_I \end{pmatrix}$$

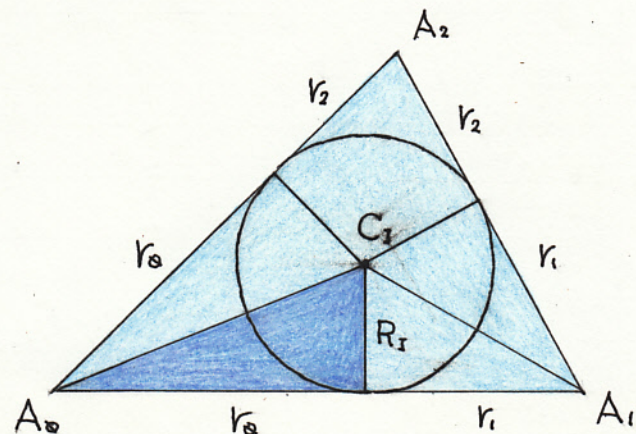


fig.272

【P587】 3角形の重心の周辺（続き）

$$r_a = \frac{1}{2} (l_1 + l_2 - l_0)$$

$$C_I = \begin{pmatrix} \frac{1}{2} (l_1 + l_2 - \sqrt{l_1^2 + l_2^2 - 2l_1l_2 \cos\theta}) \\ \frac{l_1l_2 \sin\theta}{l_1 + l_2 + \sqrt{l_1^2 + l_2^2 - 2l_1l_2 \cos\theta}} \end{pmatrix} \quad (W27)$$

(W25), (W26), (W27)を定理として再記しておく。 $C_P$ も再記します。

$C_P, C_G, C_{\bar{o}}, C_I$  の  $l_1, l_2, \theta$  表現

$$C_P = {}^t \begin{pmatrix} l_1 \cos\theta & , l_2 \frac{\cos\theta}{\sin\theta} - l_1 \frac{\cos^2\theta}{\sin\theta} \end{pmatrix} \quad .1)$$

$$C_G = {}^t \begin{pmatrix} \frac{1}{3} l_1 \cos\theta + \frac{1}{3} l_2 & , \frac{1}{3} l_1 \sin\theta \end{pmatrix} \quad .1)$$

$$C_{\bar{o}} = {}^t \begin{pmatrix} \frac{1}{2} l_2 & , \frac{1}{2 \sin\theta} (l_1 - l_2 \cos\theta) \end{pmatrix} \quad .2)$$

$$C_I = \begin{pmatrix} \frac{1}{2} (l_1 + l_2 - \sqrt{l_1^2 + l_2^2 - 2l_1l_2 \cos\theta}) \\ \frac{l_1l_2 \sin\theta}{l_1 + l_2 + \sqrt{l_1^2 + l_2^2 - 2l_1l_2 \cos\theta}} \end{pmatrix} \quad .3)$$

定理(201)

$C_I$  の  $x_2$  成分、つまり  $R_I$  はやはり、分母の  $\sqrt{\quad}$  を消去しておくべきでない。

(201)を用いて、2つのVector  $\overrightarrow{C_G C_P}, \overrightarrow{C_G C_{\bar{o}}}$  を計算しましょう。

【P588】 3角形の重心の周辺(続き)

$$\overrightarrow{C_G C_P} = \begin{cases} l_1 \cos \theta - \frac{1}{3} l_1 \cos \theta - \frac{1}{3} l_2 \\ l_2 \frac{\cos \theta}{\sin \theta} - l_1 \frac{\cos^2 \theta}{\sin \theta} - \frac{1}{3} l_1 \sin \theta \end{cases}$$

$$= \begin{cases} -\frac{1}{3} l_2 + \frac{2}{3} l_1 \cos \theta \\ l_2 \frac{\cos \theta}{\sin \theta} - \frac{1}{3} l_1 \frac{1}{\sin \theta} (3 \cos^2 \theta + \sin^2 \theta) \end{cases}$$

$$\overrightarrow{C_G C_P} = \begin{cases} -\frac{1}{3} l_2 + \frac{2}{3} l_1 \cos \theta \\ l_2 \frac{\cos \theta}{\sin \theta} - \frac{1}{3} l_1 \frac{1+2 \cos^2 \theta}{\sin \theta} \end{cases} \quad (W28)$$

$$\overrightarrow{C_G C_{\bar{o}}} = \begin{cases} \frac{1}{2} l_2 - \frac{1}{3} l_1 \cos \theta - \frac{1}{3} l_2 \\ \frac{1}{2 \sin \theta} (l_1 - l_2 \cos \theta) - \frac{1}{3} l_1 \sin \theta \end{cases}$$

$$= \begin{cases} \frac{1}{6} l_2 - \frac{1}{3} l_1 \cos \theta \\ -\frac{1}{2} l_2 \frac{\cos \theta}{\sin \theta} + \frac{1}{6} l_1 \frac{1}{\sin \theta} (3 - 2 \sin^2 \theta) \end{cases}$$

$$\overrightarrow{C_G C_{\bar{o}}} = \begin{cases} \frac{1}{6} l_2 - \frac{1}{3} l_1 \cos \theta \\ -\frac{1}{2} l_2 \frac{\cos \theta}{\sin \theta} + \frac{1}{6} l_1 \frac{1+2 \cos^2 \theta}{\sin \theta} \end{cases} \quad (W29)$$

(W28), (W29) を比較すれば

$$\overrightarrow{C_G C_P} = -2 \overrightarrow{C_G C_{\bar{o}}} \quad (W30)$$

【P589】1月13日(木) 3角形の重心の周辺(続き)

$C_{\bar{o}}, C_G, C_P$  の関係

縮退していない3角形  $A_0, A_1, A_2$  の、外接円の中心を  $C_{\bar{o}}$ 、重心を  $C_G$ 、垂心を  $C_P$  とします。また、3角形  $A_0, A_1, A_2$  は正3角形でもないとなります。このとき、2つのVector  $\overrightarrow{C_G C_P}, \overrightarrow{C_G C_{\bar{o}}}$  の  $l_1, l_2, \theta$  表現は、

$$\overrightarrow{C_G C_P} = -2 \overrightarrow{C_G C_{\bar{o}}} = \left( \begin{array}{l} -\frac{1}{3}l_2 + \frac{2}{3}l_1 \cos\theta \\ l_2 \frac{\cos\theta}{\sin\theta} - \frac{1}{3}l_1 \frac{1+2\cos^2\theta}{\sin\theta} \end{array} \right) \quad .1)$$

従って、3点  $C_{\bar{o}}, C_G, C_P$  は、この順で同一直線上にあり。 .2)

$$\overline{C_{\bar{o}} C_G} : \overline{C_G C_P} = 1 : 2 \quad .3)$$

定理(202)

Acute Case

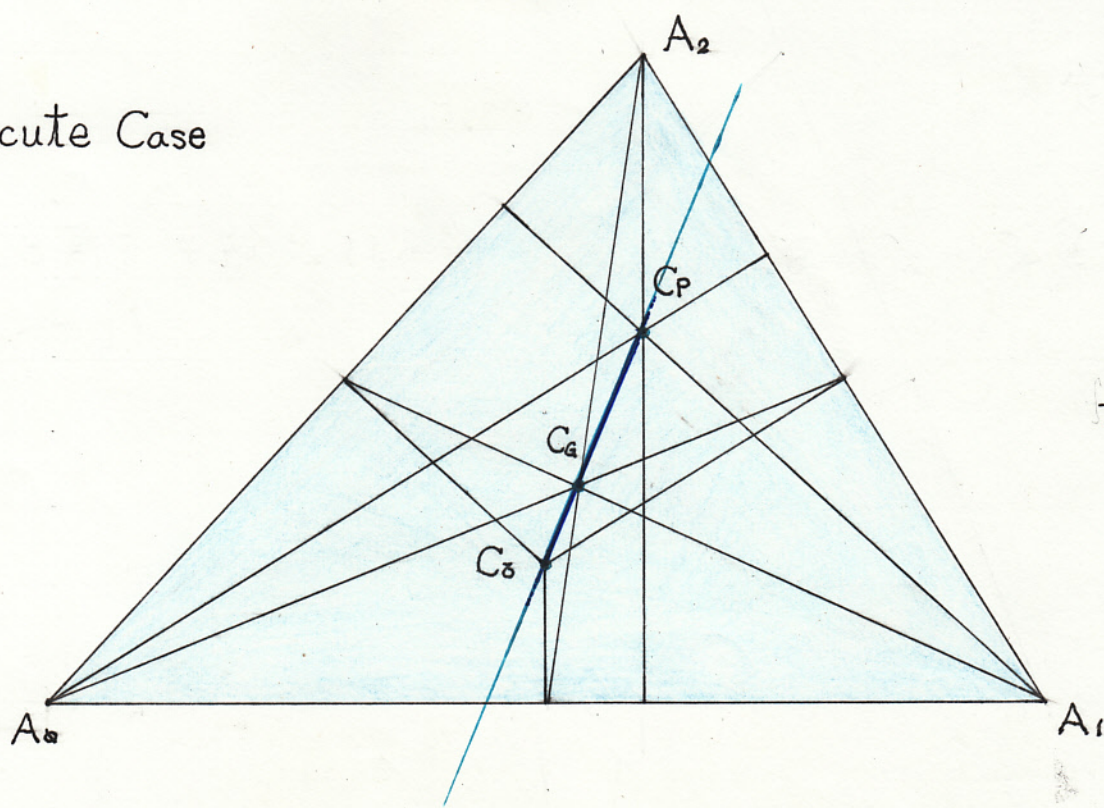


fig.273.1

【P590】3角形の重心の周辺（続き）

Obtuse Case 1

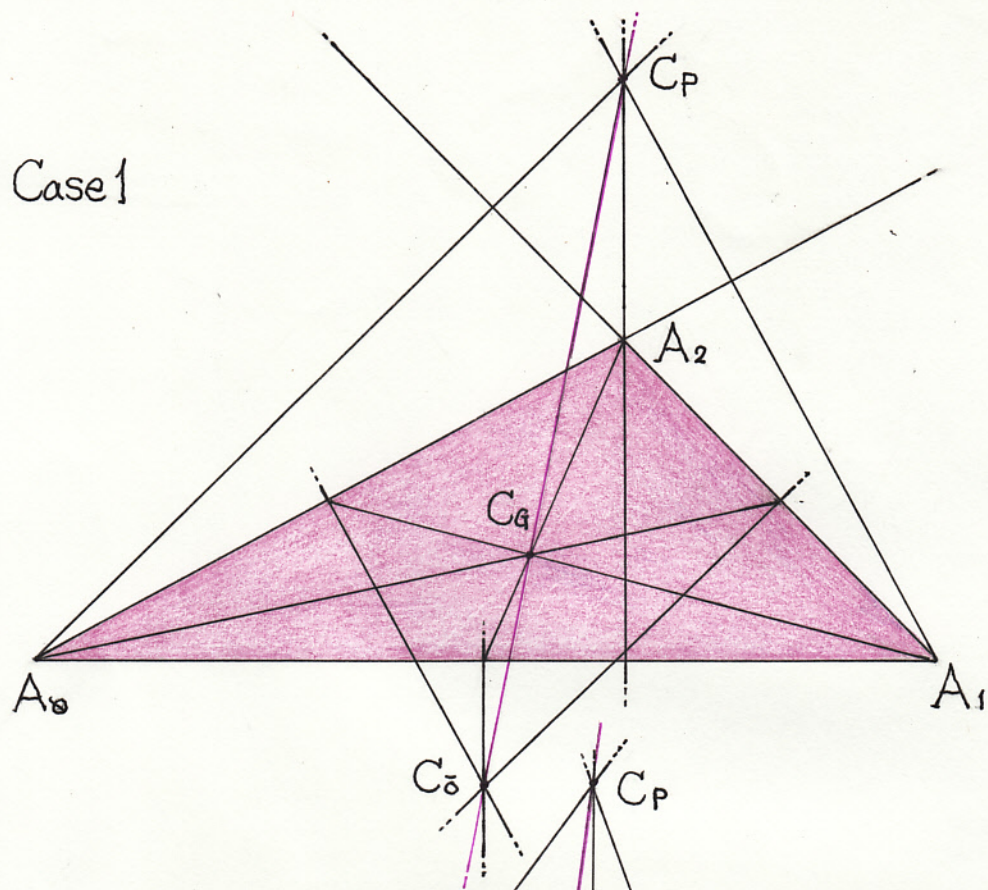


fig.273.2

Obtuse Case 2

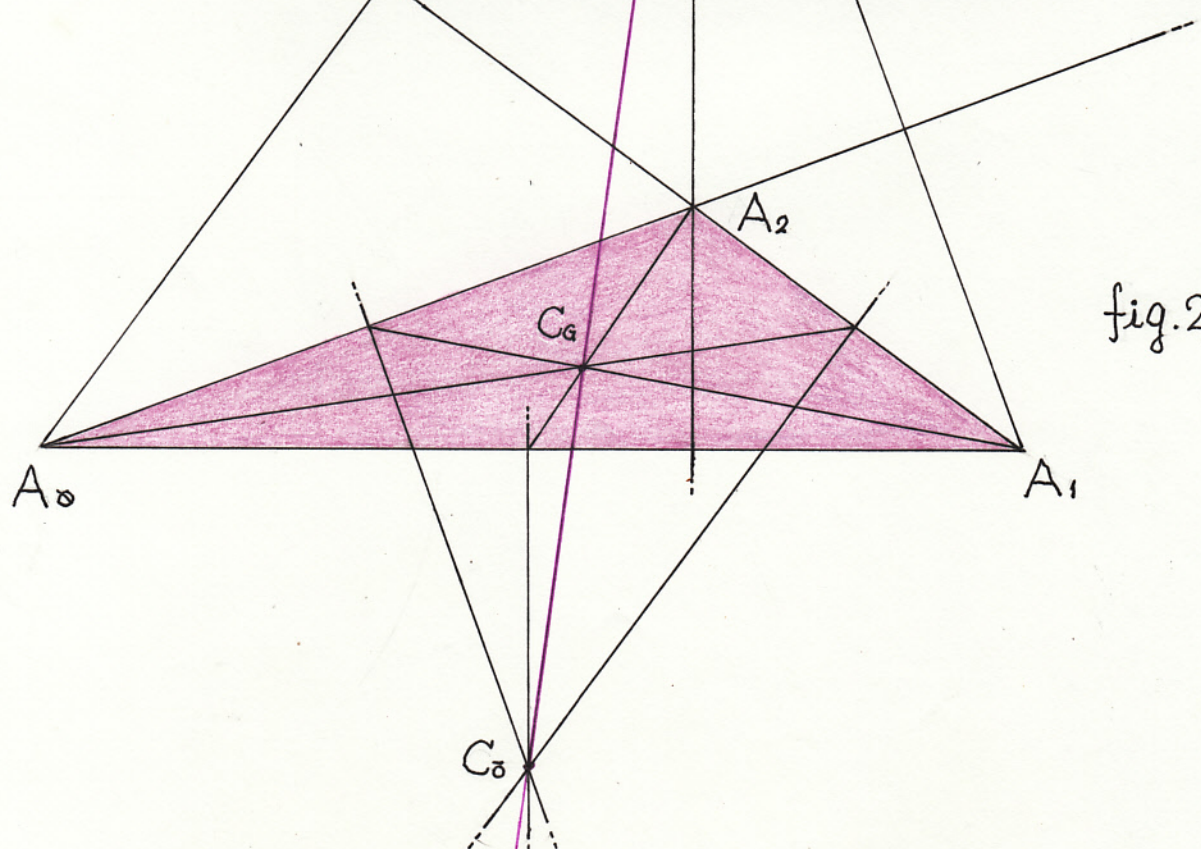


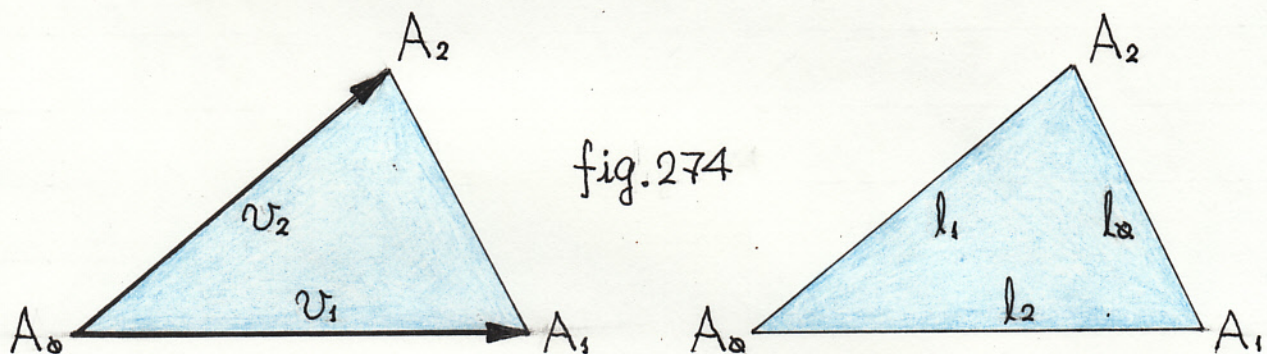
fig.273.3

【P591】 1月15日(土) 3角形の重心の周辺(続き)

3角形  $A_0 A_1 A_2$  の傍心の議論をしましょう。

傍心は3角形の内接円の中心と似た概念です。重心とはあまり関係が無さそうです。本来ならば、『3角形の面積の周辺』で論じるべきだったか、さもなくば、それ自身を主題とした『3角形の傍心の周辺』として論じるべきだと思われるかもしれません。でも、傍心は垂心とも関連します。そこで、当節で論じることに決めました。

3角形  $A_0 A_1 A_2$  に対して、Vector  $v_1, v_2$ 、Scalar  $l_0, l_1, l_2$  を、今までと同じように、下図のように定義します。これは確認です。これらを用いて傍心の位置や、傍接円の半径を論じることになります。



$$l_0 = |v_2 - v_1|, \quad l_1 = |v_2|, \quad l_2 = |v_1| \text{ です。}$$

これまでと同じように、3角形  $A_0 A_1 A_2$  は縮退していないものとします。つまり  $\{v_1, v_2\}$  は1次独立だとします。このことは、

$$\alpha_1 v_1 + \alpha_2 v_2 = \beta_1 v_1 + \beta_2 v_2 \rightarrow \alpha_1 = \beta_1 \text{ and } \alpha_2 = \beta_2 \quad (\text{W31})$$

が成り立つということです。(W31)は実際利用されます。

1つの3角形  $A_0 A_1 A_2$  に対して傍心は3個存在します。それぞれ、“頂点  $A_0$  に相対する傍心”，“頂点  $A_1$  に相対する傍心”，“頂点  $A_2$  に相対する傍心”と呼ぶことします。

【P592】1月16日(日) 3角形の重心の周辺(続き)

まず、頂点  $A_0$  に相対する傍心について考察しよう。

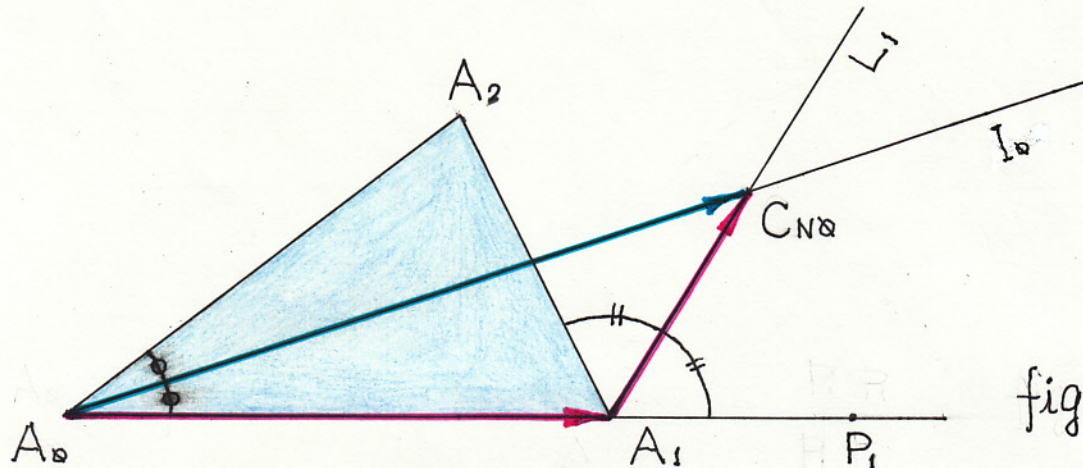


fig.275

$\angle A_2 A_0 A_1$  の2等分線を  $I_0$  とします。直線  $A_0 A_1$  上の  $A_1$  側のかたな1点を  $P_1$  とします。 $\angle A_2 A_0 P_1$  の2等分線を  $L_1$  とします。2直線  $I_0$ ,  $L_1$  の交点を  $C_{NQ}$  とします。 $C_{NQ}$  を求めましょう。

$$\overrightarrow{A_0 C_{NQ}} = \overrightarrow{A_0 A_1} + \overrightarrow{A_1 C_{NQ}} \quad (W32)$$

$$\overrightarrow{A_0 C_{NQ}} = \alpha \left( \frac{\vec{v}_1}{|\vec{v}_1|} + \frac{\vec{v}_2}{|\vec{v}_2|} \right)$$

$$\overrightarrow{A_0 C_{NQ}} = \frac{\alpha}{l_2} \vec{v}_1 + \frac{\alpha}{l_1} \vec{v}_2 \quad (W33)$$

$$\overrightarrow{A_0 A_1} + \overrightarrow{A_1 C_{NQ}} = \vec{v}_1 + \beta \left( \frac{\vec{v}_1}{|\vec{v}_1|} + \frac{\vec{v}_2 - \vec{v}_1}{|\vec{v}_2 - \vec{v}_1|} \right)$$

$$= \vec{v}_1 + \frac{\beta}{l_2} \vec{v}_1 + \frac{\beta}{l_0} \vec{v}_2 - \frac{\beta}{l_0} \vec{v}_1$$

$$\overrightarrow{A_0 A_1} + \overrightarrow{A_1 C_{NQ}} = \left( 1 + \frac{\beta}{l_2} - \frac{\beta}{l_0} \right) \vec{v}_1 + \frac{\beta}{l_0} \vec{v}_2 \quad (W34)$$

(W32), (W33), (W34) 及び (W31) より、 $\alpha, \beta$  に関する連立1次方程式が得られます。

【P593】 3角形の重心の周辺(続き)

$$\frac{\alpha}{l_2} = 1 + \frac{\beta}{l_2} - \frac{\beta}{l_0}, \quad \frac{\alpha}{l_1} = \frac{\beta}{l_0}$$

これを解けば、

$$\alpha = \frac{l_1 l_2}{-l_0 + l_1 + l_2} \quad (W35)$$

(W33), (W35)より、

$$\overrightarrow{A_0 C_{NQ}} = \frac{l_1}{-l_0 + l_1 + l_2} v_1 + \frac{l_2}{-l_0 + l_1 + l_2} v_2 \quad (W36)$$

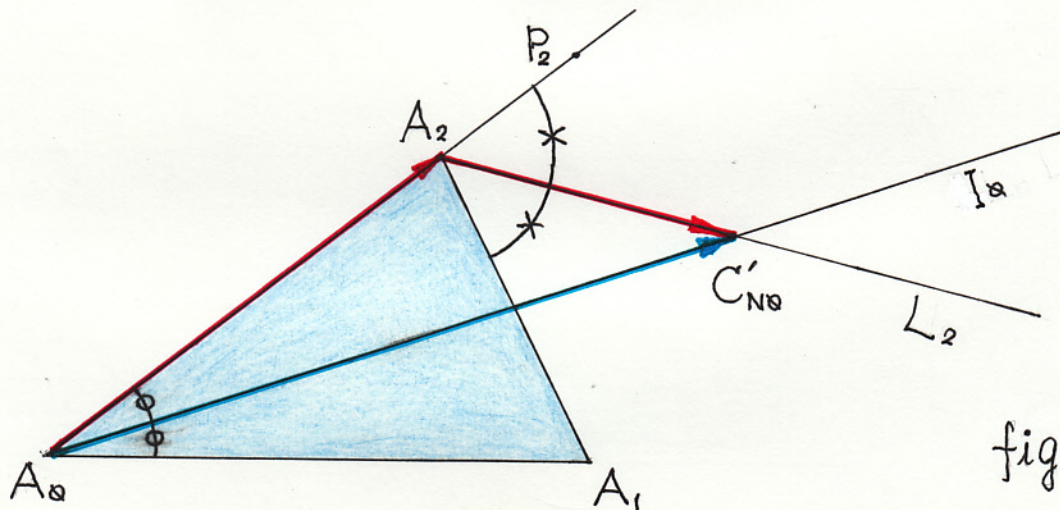


fig.276

直線  $A_0 A_2$  の  $A_2$  側のかたな 1 点を  $P_2$  とします。 $\angle A_1 A_2 P_2$  の 2 等分線を  $L_2$  とします。2 直線  $I_0, L_2$  の交点を  $C'_{NQ}$  とします。 $C'_{NQ}$  を求めよう。

$$\overrightarrow{A_0 C'_{NQ}} = \overrightarrow{A_0 A_2} + \overrightarrow{A_2 C'_{NQ}} \quad (W37)$$

$$\overrightarrow{A_0 C'_{NQ}} = \gamma \left( \frac{v_1}{|v_1|} + \frac{v_2}{|v_2|} \right)$$

$$\overrightarrow{A_0 C'_{NQ}} = \frac{\gamma}{l_2} v_1 + \frac{\gamma}{l_1} v_2 \quad (W38)$$

$$\overrightarrow{A_0 A_2} + \overrightarrow{A_2 C'_{NQ}} = v_2 + \gamma \left( \frac{v_2}{|v_2|} + \frac{v_1 - v_2}{|v_1 - v_2|} \right)$$

【P594】3角形の重心の周辺（続き）

$$\overrightarrow{A_0 A_2} + \overrightarrow{A_2 C'_{NQ}} = U_2 + \frac{\delta}{l_1} U_2 + \frac{\delta}{l_0} U_1 - \frac{\delta}{l_0} U_2$$

$$\overrightarrow{A_0 A_2} + \overrightarrow{A_2 C'_{NQ}} = \frac{\delta}{l_0} U_1 + (1 + \frac{\delta}{l_1} - \frac{\delta}{l_0}) U_2 \quad (W39)$$

(W37), (W38), (W39) 及び (W31) より

$$\frac{\gamma}{l_2} = \frac{\delta}{l_0}, \quad \frac{\gamma}{l_1} = 1 + \frac{\delta}{l_1} - \frac{\delta}{l_0}$$

これを解けば、

$$\gamma = \frac{l_1 l_2}{-l_0 + l_1 + l_2} \quad (W40)$$

(W35), (W40) より  $\alpha = \gamma$ 。従って (W33), (W38) より、

$$\overrightarrow{A_0 C_{NQ}} = \overrightarrow{A_0 C'_{NQ}} \quad (W41)$$

よって  $C_{NQ} = C'_{NQ}$ 。つまり 3 直線  $I_0, L_1, L_2$  は同一点  $C_{NQ}$  で交わります。 $C_{NQ}$  を 3 角形  $A_0 A_1 A_2$  の頂点  $A_0$  に相対する傍心と呼びます。

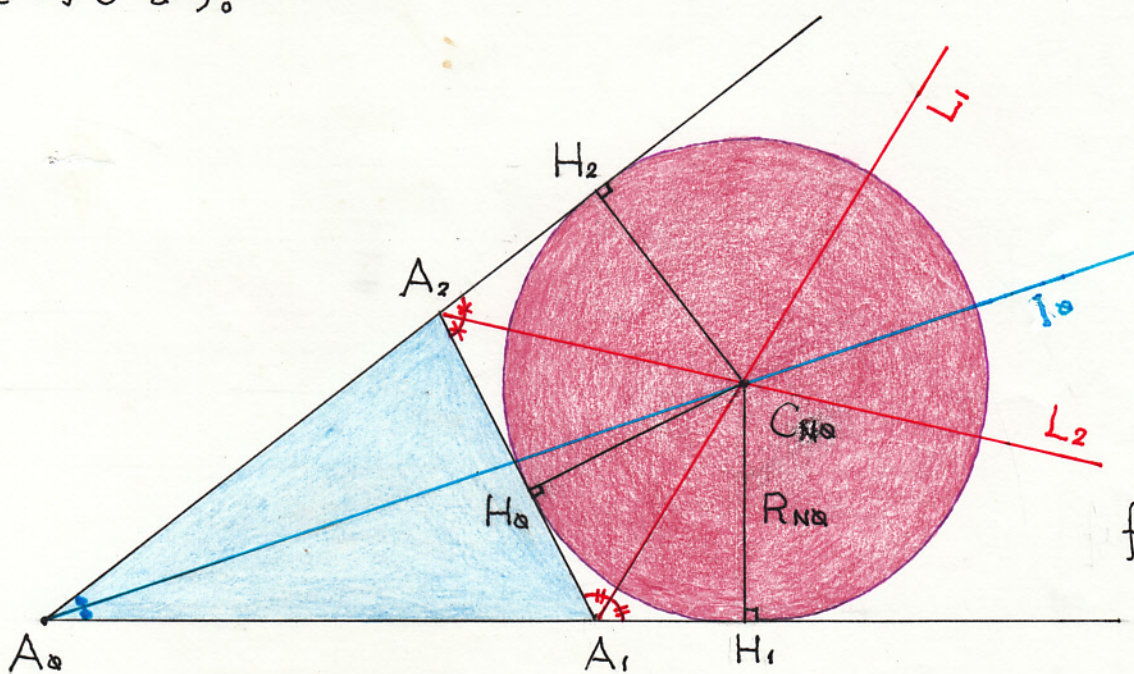


fig.277

【P595】 1月17日(月) 3角形の重心の周辺(続き)

fig.277を御覧下さい。 $C_{NQ}$ から、直線 $A_0A_1, A_1A_2, A_2A_0$ に降ろした垂線の足を、それぞれ $H_1, H_0, H_2$ とします。 $\overline{C_{NQ}H_1} = R_{NQ}$ とします。

直角3角形 $A_1H_1C_{NQ}, A_1H_0C_{NQ}$ は互いに合同です。また、直角3角形 $A_2H_0C_{NQ}, A_2H_2C_{NQ}$ も互いに合同です。従って、

$$R_{NQ} = \overline{C_{NQ}H_1} = \overline{C_{NQ}H_0} = \overline{C_{NQ}H_2} \quad (W42)$$

このことは、 $C_{NQ}$ を中心とし $R_{NQ}$ を半径とする円は、3直線 $A_0A_1, A_1A_2, A_2A_0$ 全てに接することを意味しています。この円のことを、頂点 $A_0$ に相対する傍接円と呼びます。 $R_{NQ}$ を求めよう。

3角形 $A_0A_1A_2$ の標準座標系を用いると、

$$R_{NQ} = \overline{C_{NQ}H_1} = C_{NQ}|_2$$

ここで、 $P|_2$ は点 $P$ の、標準座標系での $\angle 2$ 座標値を意味することをします。よって、(W36)より

$$R_{NQ} = \frac{1}{-l_0 + l_1 + l_2} (l_1 v_1|_2 + l_2 v_2|_2)$$

ここで、 $\angle A_2A_0A_1 = \theta$ とおくと、

$$v_1|_2 = \alpha, \quad v_2|_2 = l_1 \sin \theta$$

従って、

$$R_{NQ} = \frac{l_1 l_2}{-l_0 + l_1 + l_2} \sin \theta \quad (W43)$$

また、 $\angle 2$ 余弦公式より、

$$l_0^2 = l_1^2 + l_2^2 - 2l_1 l_2 \cos \theta \quad (W44)$$

(W43), (W44) 及び、 $\sin^2 \theta + \cos^2 \theta = 1$ より、

【P596】3角形の重心の周辺(続き)

$$\left( \frac{-l_0 + l_1 + l_2}{l_1 l_2} R_{NO} \right)^2 + \left( \frac{l_1^2 + l_2^2 - l_0^2}{2l_1 l_2} \right)^2 = 1$$

面積  $sV_2$  の Heron の公式を求めたときとほとんど同じ計算になりますが、省略しないで実行しましょう。

$$\begin{aligned} 2^2(-l_0 + l_1 + l_2)^2 R_{NO}^2 &= 4l_1^2 l_2^2 - (l_1^2 + l_2^2 - l_0^2)^2 \\ &= (2l_1 l_2 + l_1^2 + l_2^2 - l_0^2)(2l_1 l_2 - l_1^2 - l_2^2 + l_0^2) \\ &= ((l_1 + l_2)^2 - l_0^2)(l_0^2 - (l_1 - l_2)^2) \end{aligned}$$

$$\begin{aligned} 2^2(-l_0 + l_1 + l_2)^2 R_{NO}^2 &= (l_0 + l_1 + l_2) \\ &\cdot (-l_0 + l_1 + l_2)(l_0 - l_1 + l_2)(l_0 + l_1 - l_2) \end{aligned}$$

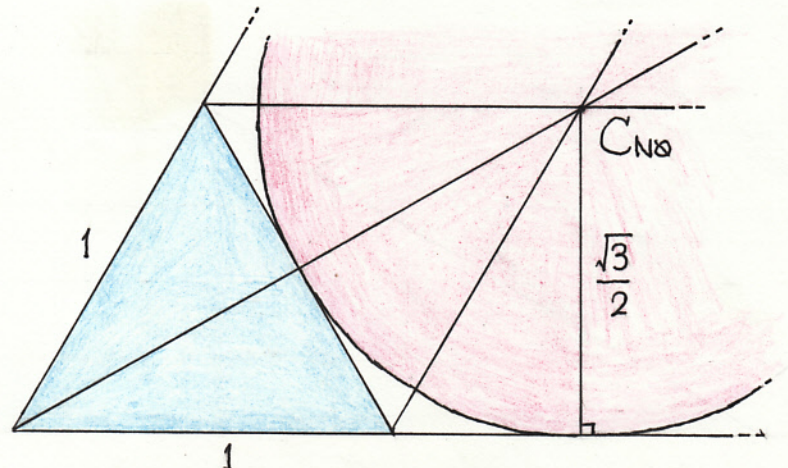
一方、(190.1)より、

$$2^4 sV_2^2 = (l_0 + l_1 + l_2) \\ \cdot (-l_0 + l_1 + l_2)(l_0 - l_1 + l_2)(l_0 + l_1 - l_2)$$

従って、

$$R_{NO} = \frac{2sV_2}{-l_0 + l_1 + l_2} \quad (\text{W45})$$

1辺の長さが 1 の正3角形の場合について、(W45)を確認しよう。



$$sV_2 = \frac{1}{2} \cdot \frac{\sqrt{3}}{2}$$

$$R_{NO} = \frac{2}{-1+1+1} sV_2 = \frac{\sqrt{3}}{2}$$

fig.278

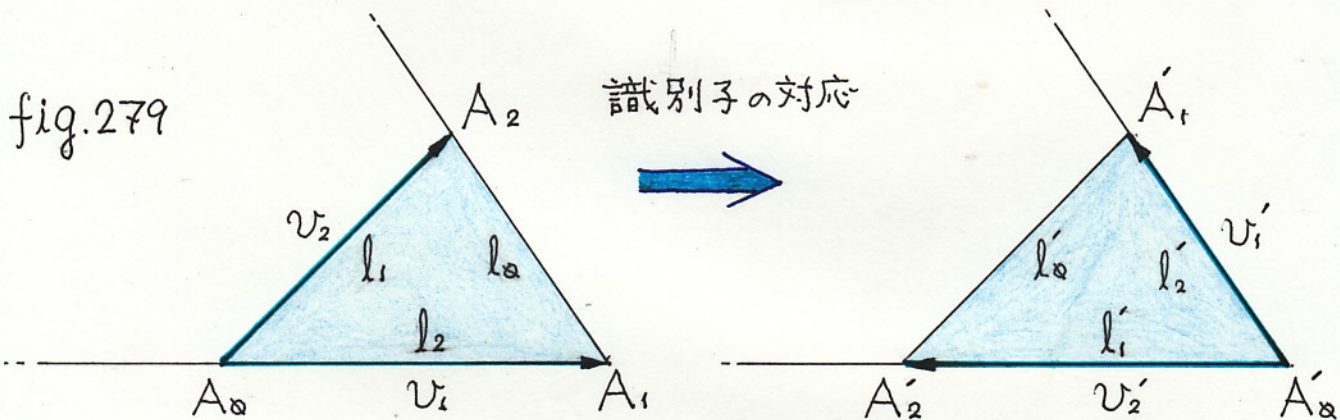
【P597】 1月18日(火) 3角形の重心の周辺(続き)

頂点  $A_1$  に相対する傍心を  $C_{N1}$ 、その傍接円の半径を  $R_{N1}$  とします。  $C_{N2}, R_{N2}$  も同様に定めます。 $C_{N1}, R_{N1}, C_{N2}, R_{N2}$  を求めよう。

$C_{NQ}, R_{NQ}$  を求めたのと全く同じ理屈を展開すること出来ますが、それでは長くなるだけで退屈で、誰も読んでくれないでしょう。かといって、結果だけを呈示するというのも、納得し難いことでしょう。

そこで、“識別子の操作”とでも云うべき方法を用いましょう。

$A_0, A_1, A_2, v_1, v_2, l_0, l_1, l_2$  に対して、 $A'_0, A'_1, A'_2, v'_1, v'_2, l'_0, l'_1, l'_2$  を下図のように対応付けることにします。



式で表わすと、

$$v'_1 = v_2 - v_1, \quad v'_2 = -v_1, \quad l'_0 = l_1, \quad l'_1 = l_2, \quad l'_2 = l_0 \quad (\text{W46})$$

3角形  $A'_0, A'_1, A'_2$  の頂点  $A'_0$  に相対する傍心を  $C'_{NQ}$ 、その傍接円の半径を  $R'_{NQ}$  とすれば

$$C_{N1} = C'_{NQ}, \quad R_{N1} = R'_{NQ} \quad (\text{W47})$$

これは上図より自明です。従って、(W36), (W45), (W46)より、

$$\begin{aligned} \overrightarrow{A_0 C_{N1}} &= \overrightarrow{A_0 A_1} + \overrightarrow{A_1 C_{N1}} = v_1 + \overrightarrow{A'_0 C'_{NQ}} \\ &= v_1 + \frac{1}{l'_0 + l'_1 + l'_2} (l'_1 v'_1 + l'_2 v'_2) \end{aligned}$$

【P598】3角形の重心の周辺(続き)

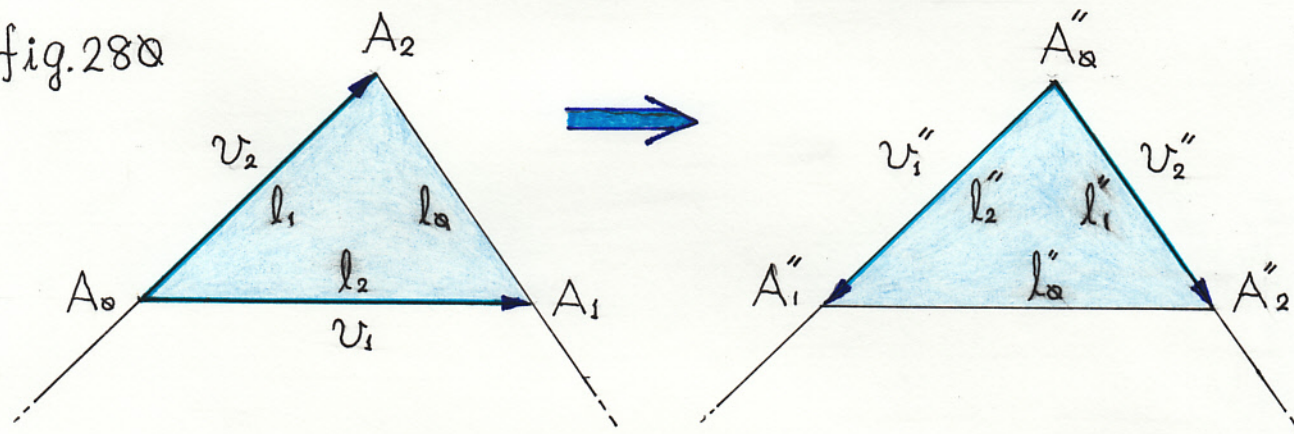
$$\overrightarrow{A_0C_{N1}} = \vec{v}_1 + \frac{1}{-\ell_1 + \ell_2 + \ell_0} (\ell_2(\vec{v}_2 - \vec{v}_1) - \ell_0 \vec{v}_1)$$

$$\overrightarrow{A_0C_{N1}} = \frac{-\ell_1}{\ell_0 - \ell_1 + \ell_2} \vec{v}_1 + \frac{\ell_2}{\ell_0 - \ell_1 + \ell_2} \vec{v}_2 \quad (W48)$$

$$R_{N1} = R'_{N0} = \frac{2s\sqrt{2}}{-\ell'_0 + \ell'_1 + \ell'_2}$$

$$R_{N1} = \frac{2s\sqrt{2}}{\ell_0 - \ell_1 + \ell_2} \quad (W49)$$

fig.28Q



$$v''_1 = -v_2, \quad v''_2 = v_1 - v_2, \quad \ell''_0 = \ell_2, \quad \ell''_1 = \ell_0, \quad \ell''_2 = \ell_1 \quad (W5Q)$$

$$C_{N2} = C''_{N0}, \quad R_{N2} = R''_{N0} \quad (W51)$$

$$\begin{aligned} \overrightarrow{A_0C_{N2}} &= \overrightarrow{A_0A_2} + \overrightarrow{A_2C_{N2}} = \vec{v}_2 + \overrightarrow{A''_0C''_{N0}} \\ &= \vec{v}_2 + \frac{1}{-\ell''_0 + \ell''_1 + \ell''_2} (\ell''_1 v''_1 + \ell''_2 v''_2) \end{aligned}$$

$$= \vec{v}_2 + \frac{1}{-\ell_2 + \ell_0 + \ell_1} (\ell_0(-v_2) + \ell_1(v_1 - v_2))$$

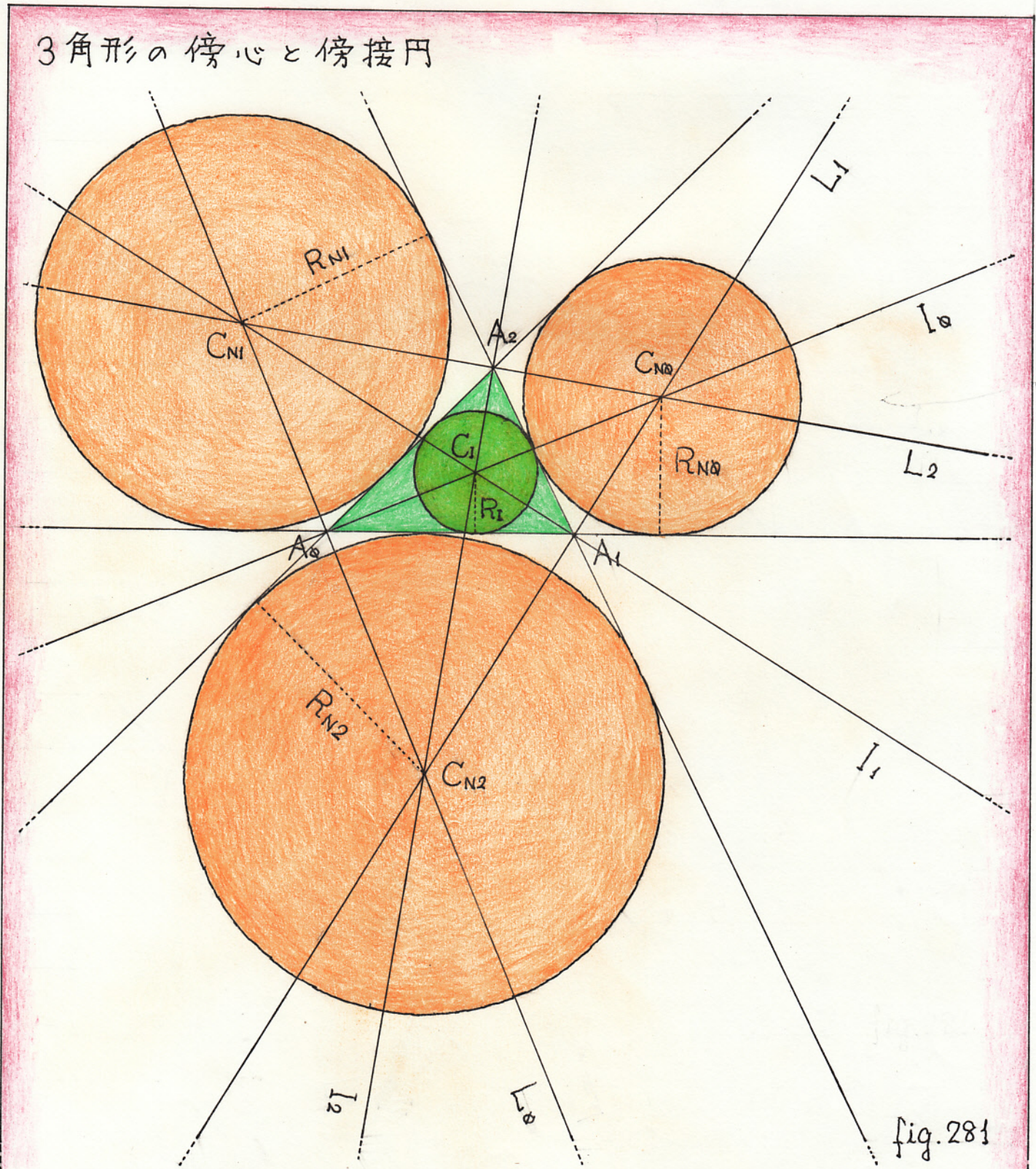
$$\overrightarrow{A_0C_{N2}} = \frac{\ell_1}{\ell_0 + \ell_1 - \ell_2} \vec{v}_1 + \frac{-\ell_2}{\ell_0 + \ell_1 - \ell_2} \vec{v}_2 \quad (W52)$$

【P599】 1月19日(水) 3角形の重心の周辺(続き)

$$R_{N2} = R''_{NQ} = \frac{2s\sqrt{2}}{-l''_Q + l''_1 + l''_2}$$

$$R_{N2} = \frac{2s\sqrt{2}}{l_a + l_s - l_2} \quad (W53)$$

これまでに得られた結果を定理としてまとめおきましょう。



【P6QQ】3角形の重心の周辺(続き)

2次元単体  $\Delta_2(A_0; v_1, v_2)$  (3角形  $A_0 A_1 A_2$ ) に関する、諸量  $v_1, v_2, l_0, l_1, l_2$  は、fig. 274 (fig. 279 や fig. 280 の左図でも同じ) で定義されるものとします。3角形  $A_0 A_1 A_2$  は縮退していないものとします。

頂点  $A_i$  ( $i = 0, 1, 2$ ) における、内角の2等分線を  $I_i$  とし、外角(内角の補角)の2等分線を  $L_i$  とします。次が成り立ちます。

3直線  $I_0, L_1, L_2$  は同1点 ( $C_{N0}$  とします) で交わります。 .1)

3直線  $I_1, L_2, L_0$  は同1点 ( $C_{N1}$  とします) で交わります。 .2)

3直線  $I_2, L_0, L_1$  は同1点 ( $C_{N2}$  とします) で交わります。 .3)

点  $C_{Ni}$  ( $i = 0, 1, 2$ ) を頂点  $A_i$  に相対する傍心と呼びます。  
これらは 次式を満たします。

$$\overrightarrow{A_0 C_{N0}} = \frac{l_1}{-l_0 + l_1 + l_2} v_1 + \frac{l_2}{-l_0 + l_1 + l_2} v_2 \quad .4)$$

$$\overrightarrow{A_0 C_{N1}} = \frac{-l_1}{l_0 - l_1 + l_2} v_1 + \frac{l_2}{l_0 - l_1 + l_2} v_2 \quad .5)$$

$$\overrightarrow{A_0 C_{N2}} = \frac{l_1}{l_0 + l_1 - l_2} v_1 + \frac{-l_2}{l_0 + l_1 - l_2} v_2 \quad .6)$$

正数  $R_{Ni}$  ( $i = 0, 1, 2$ ) を次のように定義します。

$$R_{N0} = \frac{2\sqrt{2}}{-l_0 + l_1 + l_2} \quad .7)$$

$$R_{N1} = \frac{2\sqrt{2}}{l_0 - l_1 + l_2} \quad .8)$$

$$R_{N2} = \frac{2\sqrt{2}}{l_0 + l_1 - l_2} \quad .9)$$

## 【P6Q1】3角形の重心の周辺（続き）

ここで  $sV_2$  は3角形  $A_0A_1A_2$  の面積です。次が云えます。

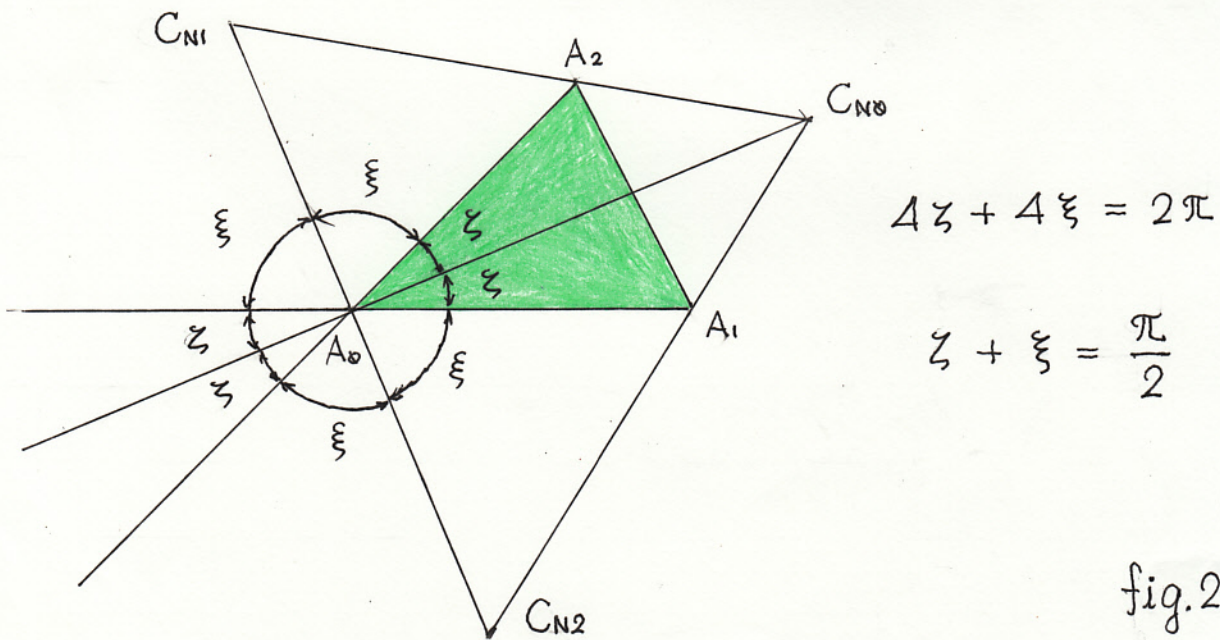
$C_{Ni}$  ( $i=0, 1, 2$ ) を中心とし、 $R_{Ni}$  を半径とする円は  
3本の直線  $A_0A_1, A_1A_2, A_2A_0$  全てと接します。10)

これら3つの円をそれぞれ、頂点  $A_i$  に相対する傍接円と呼びます。

3角形  $A_0A_1A_2$  の内接円の中心  $C_I$  は  
3角形  $C_{N0}C_{N1}C_{N2}$  の垂心と一致します。11)

定理(203)

11)は下図より明らかです。



【P602】1月20(木) 3角形の重心の周辺(続き)

内接円と傍接円を併記して比べてみましょう。傍接円が内接円だとしたら、その3角形とは如何なる图形なのでしょうか？

$$R_I = \frac{2s\sqrt{2}}{l_0 + l_1 + l_2}$$

$$\theta_0 + \theta_1 + \theta_2 = \pi$$

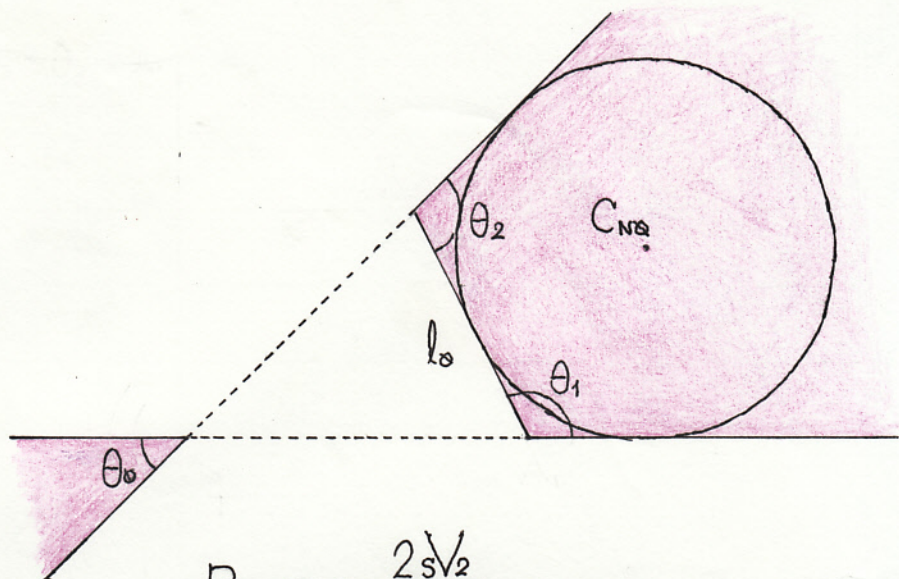
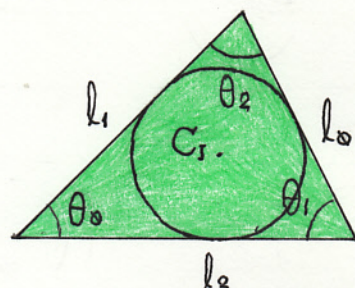
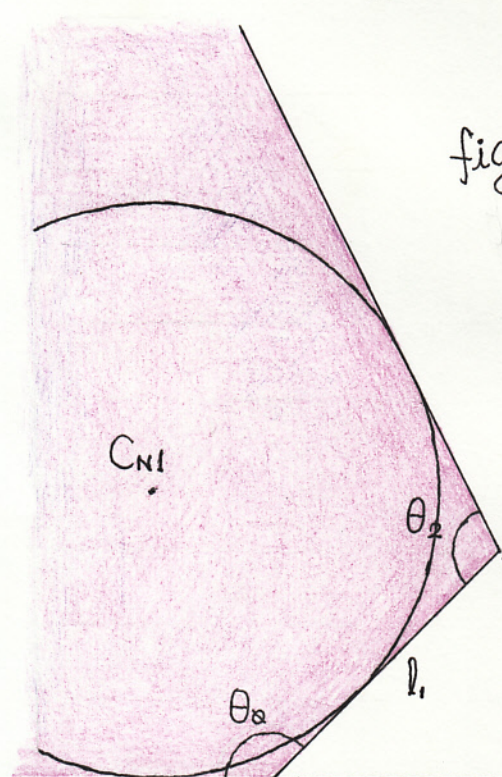


fig.283

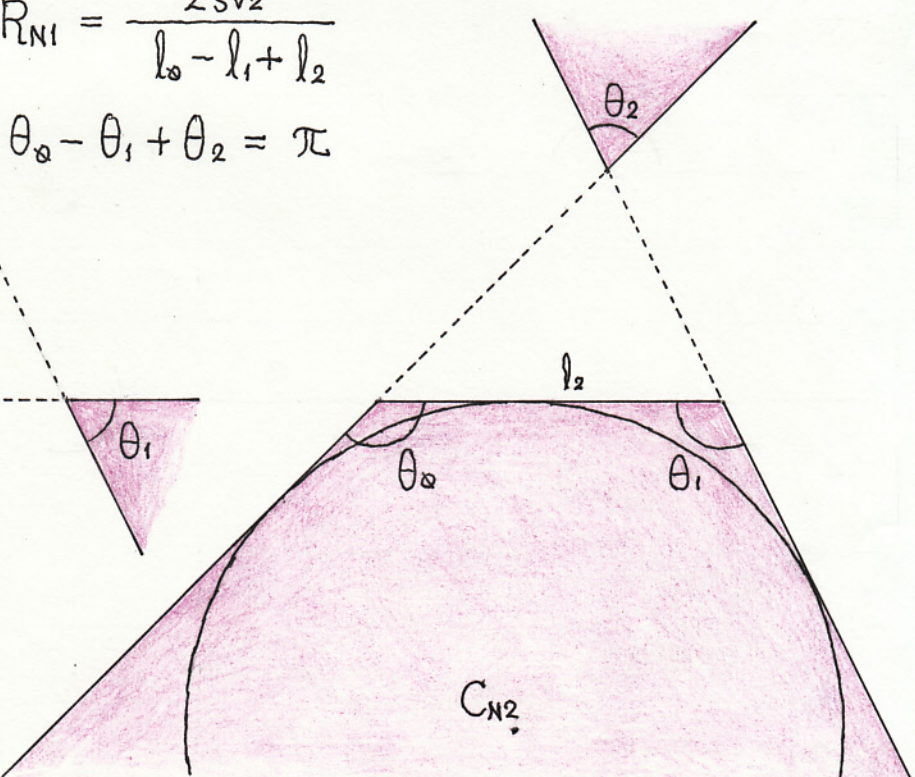
$$R_{NQ} = \frac{2s\sqrt{2}}{-l_0 + l_1 + l_2}$$

$$-\theta_0 + \theta_1 + \theta_2 = \pi$$



$$R_{NI} = \frac{2s\sqrt{2}}{l_0 - l_1 + l_2}$$

$$\theta_0 - \theta_1 + \theta_2 = \pi$$



$$R_{N2} = \frac{2s\sqrt{2}}{l_0 + l_1 - l_2}$$

$$\theta_0 + \theta_1 - \theta_2 = \pi$$

辺の長さや内角の大きさが負なる3角形を許容するならば、全て整合するのですが、どう考えますか？

【P6Q3】1月22日(土) 小休止：Zero Fighter

● 小休止：Zero Fighter

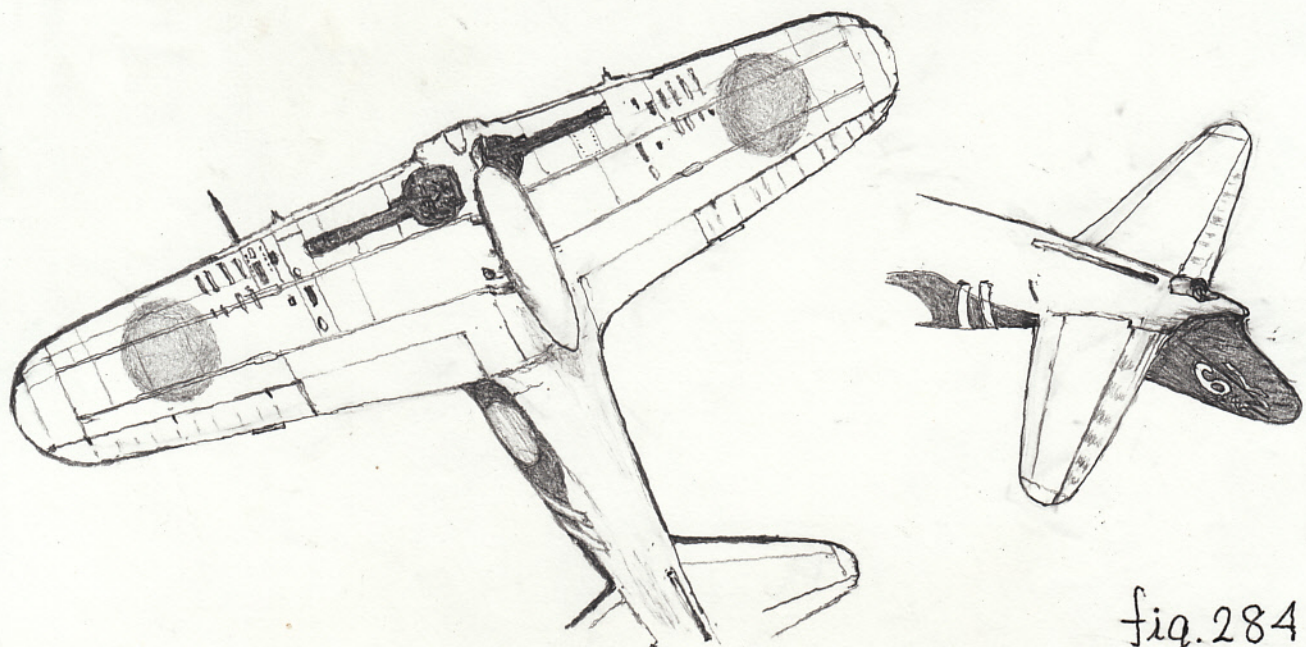
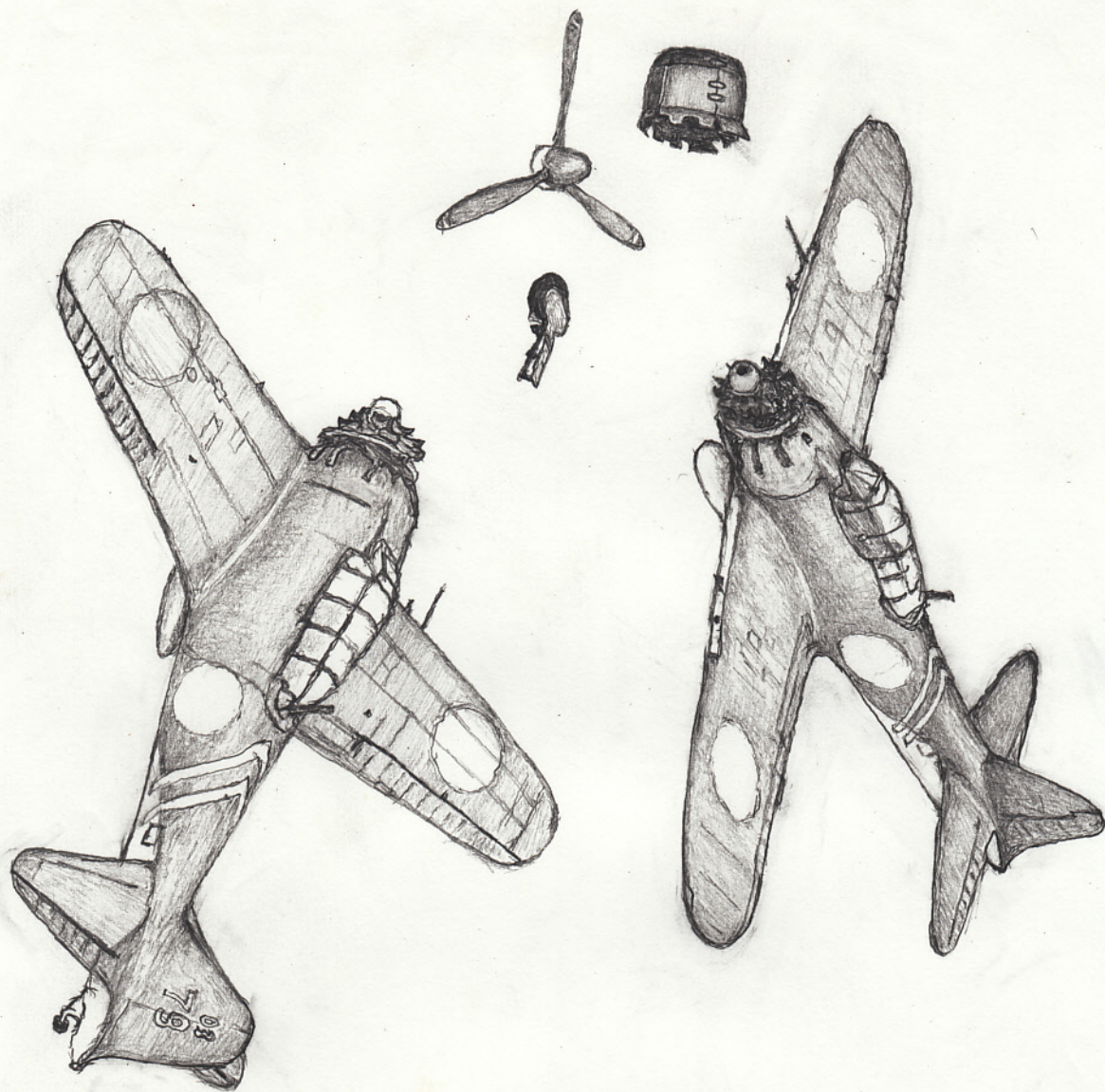


fig.284